SELECCIÓN Y PROTECCIÓN DE ESQUEMAS DE BARRAS EN SUBESTACIONES DE 230/138 kV

| Thesis · | April 1978 | | | |
|-------------|---|-----------|--|--|
| CITATIONS 0 | | READS 936 | | |
| 2 author | rs, including: | | | |
| | Víctor Orejuela Luna Universidad Politécnica Salesiana (UPS) 80 PUBLICATIONS 20 CITATIONS SEE PROFILE | | | |
| Some of | f the authors of this publication are also working on these related project | ts: | | |
| Project | distribution service quality View project | | | |

ESCUELA POLITECNICA NACIONAL

SELECCION Y PROTECCION DE ESQUEMAS DE BARRAS EN SUBESTACIONES DE 280/188 KV. APLICACION A LA SUBESTACION MILAGRO

Tesis previa a la obtención del Título de Ingeniero Eléctrico, en la Especia lización de Potencia.

EDMUNDO RAMIRO TERAN GOMEZ

Quito, a Abril de 1978

CERTIFICADO:

Certifico que la présente Tesis: "Selec ción y Protección de Esquemas de Barras en Subestaciones de 230/138 Kv.-Aplicación a la Subestación Milagro" ha sido realizada en su totalidad por el se ñor Edmundo R. Terán G.

tidos H Onejuelas.

Director de Tesis

Mis. sinceros agradecimientos para todas las personas que colaboraron para la consecución de este trabajo. De manera especial a los Ingenieros Víctor Orejuela, Carlos Azalde y Luis Vintimilla.

INDICE

| | | Pag |
|-------|---|------------|
| INTRO | DDUCCION . | |
| | | |
| CAPI | TULO I SELECCION DE ESQUEMAS DE BARRAS | |
| | | |
| 1. | CONSIDERACIONES GENERALES. | 1 |
| i .1 | Características de un esquema . | 1 |
| 1.2 | Criterios de comparación entre alternativas. | 3 |
| 1.3 | Elementos de un esquema. | 4 |
| 2. | FRECUENCIA DE FALLAS, REPARACION Y MAN- | |
| | TENIMIENTO DE BARRAS. | 4 |
| з. | FRECUENCIA DE FALLAS, REPARACION Y MA <u>n</u> | • |
| | TENIMIENTO DE ELEMENTOS ASOCIADOS A | |
| | LAS BARRAS. | 6 |
| 3.1 | Disyuntores. | 7 |
| 3;2 | Seccionadores. : | 7 · |
| 3.3 | Posición de interrupción. | 8 |
| 4. | ASPECTOS DETERMINANTES EN LA SELECCION | |
| | DE UN ESQUEMA DE BARRAS. | 9 |
| 4.1 | Continuidad y calidad de suministro de potencia y | |
| • | energía. | . 10 |
| .4.2 | Costo anual por interrupciones de servicio. | 1 0 |
| 4.3 | Costo anual de recuperación de capital. | 11 |
| 4.4 | Costo anual total de un esquema. | 13 |
| 5. | CONFIGURACIONES DE BARRAS, MODIFICACIO- | |
| • | NICC EMPLEADAS X EVALUACIONI | 10 |

| | | Pág |
|--------|--|------|
| | | · |
| 5.1 | Barra simple. | 14 |
| 5.2 | Barra simple seccionada. | |
| : | | 15 |
| 5.3 | Barra principal y transferencia. | 17 |
| 5.4 | Doble barra con un solo disyuntor. | 19. |
| 5.5 | Doble barra con un solo disyuntor y by pass. | 20 |
| 5.6 | Doble barra con doble disyuntor. | 22 |
| 5.7 | 1 1/2 disyuntores. | 23 |
| | | |
| CAPITU | JLO II PROTECCION DE BARRAS | |
| | | |
| 1. | CONSIDERACIONES GENERALES | 27 |
| 2. | ELEMENTOS EMPLEADOS EN LA PROTECCION | |
| | CE BARRAS. | 27 |
| 2.1 | Transformadores de protección. | 28 |
| 2.1.1 | Transformadores de corriente. | 29 |
| 2.1.2 | Transformadores de potencial. | 33 |
| 2.1.3 | Divisores capacitivos de potencial. | 35 |
| 2.2 | Relés. | 40 |
| 2.2.1 | Relé direccional. | 41 |
| 2.2.2 | Relé direccional de sobrecorriente. | 44 |
| 2.2.3 | Relés auxiliares. | 45 |
| 2.3 | Elementos de apertura. | . 45 |
| 2.3.1 | Seccionadores. | 45 |
| 2.3.2 | Disyuntores. | 46 |
| 2.4 | Circuitos de control. | 47 |
| з. | ESTUDIO DE LOS ESQUEMAS DE PROTECCION | |
| | PARA LAS CONFIGURACIONES USUALES DE BA | , |
| | | 400 |

| | | Pág. |
|-------|---|------|
| 3.1 | Requerimientos de un sistema de protección de | |
| | barras. | 47 |
| 3.2 | Principios de funcionamiento de un sistema de | |
| | protección de barras. | 51. |
| 3.3 | Protección diferencial. | 52 |
| 3.4 | Circuito diferencial de alta impedancia. | 54 |
| 3.5 | Esquema de protección para barra simple. | 58 |
| 3.6 | Esquema de protección para barra principal y | |
| • | transferencia. | 61 |
| 3.7 | Esquema de protección para doble barra con un | |
| , | solo disyuntor y by pass. | 63 |
| 4. | EVALUACION DE LOS ESQUEMAS DE PROTEC | |
| | CION | 70 |
| CAPIT | ULO III APLICACION A LA SUBESTACION MI- | |
| ٠. | <u>LAGRO</u> | |
| 1. | CARACTERISTICAS DE LA SUBESTACION | 72 |
| 1.1 | Programa de instalación de equipo. | 72 |
| 1.2 | Corrientes máximas en posiciones de interrupción | 74 |
| 1.•3 | Corrientes de cortocircuita. | 77 |
| 2. | SELECCION DE LOS ESQUEMAS DE BARRAS | · 79 |
| 2.1 | Generalidades. | 79 |
| 2.2 | Selección del esquema de barras para el sector | |
| | de 230 Kv. | 81 |
| 2.2.1 | Evaluación de la continuidad y calidad de suminis | |
| | tro de potencia y energía. | 81 . |

| | | P á g |
|----------------|--|--------------|
| | Sec. | |
| 2.2.2 | Evaluación del costo anual por interrupciones de | |
| | servicio. | 86 |
| 2.2.3 | Evaluación del costo anual de recuperación de | |
| | capital. | . 86 |
| 2.2.4 | Costo anual total. | 9 1 |
| 2.3 | Selección del esquema de barras para el sector | |
| | de 138 Kv. | 92 |
| 2 . 3.1 | ! Evaluación de la continuidad y calidad de sumini <u>s</u> | |
| | tro de potencia y energía. | 92 |
| 2.3.2 | Evaluación del costo anual por interrupciones de | |
| | servicio. | 97 |
| 2.3.3 | Evaluación del costo anual de recuperación de ca | • |
| | pital. | . 97 |
| 2.3.4 | Costo anual total. | 100 |
| 3. | PROTECCION DE LOS ESQUEMAS DE BARRAS | 101 |
| 4. | ESPECIFICACION DE TRANSFORMADORES DE | |
| | CORRIENTE. | 105 |
| 5. | ESPECIFICACION DE RELES Y EQUIPOS DE | |
| | PROTECCION DE BARRAS. | 105 |
| 5.1 | Especificación de relés. | 105 |
| 5.1.1 | Relés diferenciales. | 105 |
| 5.1.2 | Relés de bloqueo. | 107 |
| 5.2 | Cálculo de ajustes para los relés diferenciales. | 107 |
| 5.2.1 | Ajustes para los relés diferenciales para el sec | |
| | tor de 230 Kv. | . 108 |
| 5.2.2 | Ajustes para los relés diferenciales para el sec | |
| | tor de 138 Kv. | 111 |

| | | Pág. |
|--------|--|------------------|
| | | |
| 5.3 | Especificación de disyuntores. | 113 |
| 5.3.1 | Disyuntores para el sector de 230 Kv. | 113 [.] |
| 5.3.2 | Disyuntores para el sector de 138 Kv. | 114 |
| 6. | SECUENCIA DE ACCIONAMIENTO DEL SISTEMA | |
| | DE PROTECCION. | 114 |
| | | |
| CAPITU | JLO IV CONCLUSIONES | 116 |
| | | |
| ANEXO | A: SIMBOLOS Y NOMENCLATURA DE DISPOSI | |
| | TIVOS EMPLEADOS. | A-1. |
| ANEXO | B: CALCULO DE AJUSTES PARA EL RELE DI | |
| / | FRENCIAL DE ALTA IMPEDANCIA WESTING | |
| | HOUSE TIPO KAB. | A3 |

INTRODUCCION

Este trabajo tiene el propósito de presentar en forma general, el método usual de selección del esquema de barras más conveniente para una determinada subestación de un sistema eléctrico. Adicio ralmente se presenta la descripción del empleo de algunos relés de protección en los esquemas de barras que usualmente se tienen a voltajes elevados, como son 138 y 230 Kv.

Para cumplir con los objetivos propuestos, se describe los esque mas usuales de barras y algunas de sus variantes, junto con los a rreglos de elementos de sistemas de protección que operarían en el caso de ocurrir una avería o falla dentro del esquema de barras.

Finalmente se presenta una aplicación de los métodos descritos, en el diseño de tales sistemas para la Subestación Milagro, eslabón importante del Sistema Nacional Interconectado del Ecuador.

CAPITULO I

SELECCION DE ESQUEMAS DE BARRAS

CONSIDERACIONES GENERALES

1.

Al diseñar una subestación, se tiene que decidir convenien temente el empleo de uno de los varios esquemas de barras que se pueden presentar como alternativas, exigiendo este proceso el buen conocimiento de algunos aspectos importan tes de cada uno de ellos.

1.1 CARACTERISTICAS DE UN ESQUEMA

Las características que se consideran para evaluaciones de este tipo son:

- Continuidad y calidad de suministro de potencia y energía.
- Operación.
- Protección.
- Facilidades de ampliación.
- Costo.

a. <u>Continuidad y Calidad de Suministro de Potencia y E-</u> nergía

Que se puede medir con el conocimiento del número de

veces que un esquema deja de suministrar potencia y energía y el tiempo que estas interrupciones duran, puesto que tal situación eleva el costo de la subesta - ción por ingresos no percibidos al no vender servicio eléctrico a los usuarios.

b. Operación

La puesta en servicio de un esquema de barras y su funcionamiento en estado normal, desconectando líneas o transformadores o conectándolos según lo solicite el sistema, requiere el manejo de sus elementos, en el orden necesario, anotándose también que la mayoría de esquemas de barras involucran transferencia de funcionamiento de una sección a otra, ya sea para efectuar mantenimiento o por falla de ellas. La operación de un esquema se refiere entonces a la mayor o menor cantidad y complejidad de maniobras requeridas para las situaciones nombradas anteriormente.

c. <u>Protección</u>

La conservación del equipo y la continuidad de servicio en una subestación, en caso de fallas, requiere configuraciones de elementos de protección, que varían de a cuerdo al esquema de barras empleado y que pueden ser simples o complicadas, considerando el número de salidas y la ubicación misma de tales elementos en el esquema.

d. Facilidades de Ampliación

En la mayoría de casos, las subestaciones son susceptibles de tener ampliaciones, por esto, se tiene que considerar las facilidades que el esquema de barras prestará al realizar las extensiones requeridas sin interrupciones de servicio.

e. Costo

Aspecto de singular importancia que es deseable sea lo más bajo posible, pero a la vez consistente, sobretodo con la continuidad de servicio y con los demás aspectos ya señalados.

1.2 CRITERIOS DE COMPARACION ENTRE ALTERNATIVAS

La selección de uno de los esquemas de barras en estudio se realiza dando mayor importancia a la medida de conti - nuidad y calidad de suministro de potencia y energía o seguridad de funcionamiento, que el esquema provee y al costo del mismo.

Se obtiene con esto un criterio técnico-económico que involucra el mayor tiempo de funcionamiento de una subestación, al menor costo posible.

El estudio de la seguridad de funcionamiento de un esquema

se designa con el nombre de confiabilidacl.

1.3 ELEMENTOS DE UN ESQUEMA

Por lo general, se divide a los elementos constitutivos de un esquema en dos grupos:

a. Barras

b. Elementos Asociados a las Barras

Disyuntores, seccionadores asociados a él y a todo el equipo auxiliar como son los transformadores de potencial y de corriente, elementos de protección, etc. que operan con cada disyuntor. El conjunto se denomina posición de interrupción.

Es en estos dos tipos de elementos constitutivos de un esquema, en los que pueden ocurrir fallas o averías, cuya frecuencia dará la mayor o menor confiabilidad del esquema en estudio.

2. FRECUENCIA DE FALLAS, REPARACION Y MANTENIMIEN TO DE BARRAS

La mayoría de artículos técnicos especializados consideran que la frecuencia de fallas en barras es un valor muy pequeño, fijo e independiente del número de elementos asocia

dos a ellas, sin embargo, es conveniente anotar que un mayor número de estas fallas se debe principalmente a la contaminación de los aisladores, lo que lleva a pensar que mientras más puntos de aislamiento tenga un esquema de barras, mayor será la probabilidad de falla en barras.

Se define:

p = Frecuencia de fallas en barras (fallas/año x barra)

Este valor describe sobre todo al número de fallas monofásicas a tierra que son las más frecuentes.

TABLA Nº 1
TIEMPO DE SUSPENSION DE SERVICIO DEBIDO A
FALLAS EN BARRAS

| Esquema | t _l · |
|---------------------------------|--------------------------------|
| | |
| Barra simple | 120 horas (rep. de la barra) |
| Doble barra un disyuntor | 0.5 horas (transf. func.) |
| Barra principal y transferencia | a 120 horas (rep. de la barra) |
| Doble barra doble disyuntor | 0.5 horas (transf. func.) |
| 1 1/2 disyuntores | 0.5 horas (transf. func.) |

Cuando ha ocurrido una falla en una barra, se estima que el tiempo de suspensión de servicio debido a ésta (t_1) , de pende del tipo de esquema, ya que en unos casos se pierde

continuidad de servicio por el tiempo necesario para reparación de barras y en otros, por el tiempo requerido para transferencia de funcionamiento de una sección a otra, este tiempo se indica en la Tabla N^2 1. (Ref: A1)

Puesto que, para efectuar mantenimiento de posiciones de interrupción o en caso de fallas, para reparación de éstas, algunos esquemas emplean una o más de sus barras en for ma ocasional, durante el tiempo de operación permanente de la subestación, se debe introducir en el estudio de probabilidad de fallas, un factor (m) que involucre el tiempo de operación de tales barras. Se define:

$$m = \frac{T}{8760 \text{ (horas)}} \tag{F-1}$$

En donde:

T = Horas empleadas para reparación o mantenimiento de posiciones de interrupción o de barras.

Se efectúa mantenimiento en una barra siempre y cuando la disposición del esquema lo permita y se acepta el tiempo de 12 horas como el necesario para efectuar tal operación.

3. FRECUENCIA DE FALLAS, REPARACION Y MANTENIMIEN TO DE ELEMENTOS ASOCIADOS A LAS BARRAS

En estudios de confiabilidad, se considera la probabilidad de falla de los siguientes elementos:

3.1 DISYUNTORES

Cuyas fallas o averías, son de dos clases:

- a. Falla en el cierre, durante una reconexión automática,
 al ocurrir una falla transitoria de línea.
- Apertura falsa, estando el disyuntor en operación normal o un no cierre al recibir una orden de cierre manual.

Las fallas de disyuntores que signifiquen un arco externo o interno de la aislación generalmente se incluyen en las fallas en barras.

3.2 SECCIONADORES

Cuyas fallas se deben por lo general al operar desconectando o conectando pequeñas corrientes:

- a. De excitación de transformadores.
- b. Residuales en las barras, fallas que tienen un valor de probabilidad de ocurrencia bastante pequeño y que dependiendo de su ubicación respecto a los demás elementos, usualmente se incluye ya sea en las fallas de tipo b, de disyuntores o en las fallas en barras.

3.3 POSICION DE INTERRUPCION

En estudios de confiabilidad, se emplea la probabilidad de fallas de posiciones de interrupción, porque engloba las probabilidades de fallas de los principales elementos asociados a las barras. Se define entonces:

p₃ = Frecuencia de fallas en posiciones de interrupción (fallas/año x posición)

El tiempo de suspensión de servicio como consecuencia de fallas en posiciones de interrupción es diferente según el esquema de barras que se emplee, así:

a. Esquema de Barra Simple

Para el que se consideran dos tipos de fallas o averías cuyos tiempos de duración son:

- t31 = 360 horas (avería grave)
- $t_{32} = 24 \text{ horas (averla leve)}$

Al ocurrir cualquiera de estos dos tipos de averías, se interrumpe totalmente la potencia suministrada por la subestación, durante el tiempo necesario para aislar la falla, tiempo estimado en media hora. Después de des pejada la falla, deja de suministrarse unicamente la potencia que la posición fallosa tenía en condiciones normales de operación y por el tiempo antes mencionado.

b. Otros Esquemas de Barras

El tiempo de suspensión de servicio es el necesario para aislar la posición averiada:

 $t_3 = 0.5 \text{ horas.}$

El tiempo necesario para reparación de una posición de interrupción se estima en 360 horas, empleándose para mantenimiento de la misma el tiempo de 48 horas.

De igual manera que en el caso de barras, hay posicio nes que se emplean durante una parte del tiempo de operación normal de la subestación, razón por la cual debe incluirse en cualquier estudio de la probabilidad a nual de falla para esos esquemas el factor m, ya definido en el punto 2., factor que considera el tiempo de empleo de ellas con relación al tiempo total anual de \underline{u} tilización del sistema.

4. ASPECTOS DETERMINANTES EN LA SELECCION DE UN ESQUEMA DE BARRAS

La evaluación que se realiza de los diferentes esquemas es esencialmente económica, realizada sobre una base técnica que constituye la medida de la continuidad de servicio que cada uno de ellos presta. El proceso descrito se realiza de la manera que a continuación se indica:

4.1 CONTINUIDAD Y CALIDAD DE SUMINISTRO DE POTEN -CIA Y ENERGIA

Que se determina investigando el número de fallas posibles (K_T) y el tiempo de interrupción de servicio que ellas producen (H_T), en los diferentes esquemas. El proceso se presenta en las Tablas Nos. 2 y 3 (ver al final del capítulo)

Cabe indicar que la forma de evaluación para esquemas con una sola barra, que son los menos complicados, se indica separadamente en la Tabla N^2 2, por cuanto en este tipo de esquema no se presentan los diferentes tipos de averías indicados en la Tabla N^2 3 para los demás esquemas.

Entre los esquemas con varias barras y que son de uso común, se pueden citar:

- Barra principal y transferencia.
- Doble barra con un solo disyuntor.
- Doble barra con doble disyuntor.
- 1 1/2 disyuntores.

4.2 COSTO ANUAL POR INTERRUPCIONES DE SERVICIO:

El número de fallas y el tiempo de salidas de servicio obtenidos en el punto anterior sirven para evaluar un costo \underline{a} nual de pérdidas por suspensión de servicio. Se asume un valor de penalización por unidad de energía no servida y \underline{o}

tro valor que considera el costo por unidad de potencia que debería invertirse para instalar una fuente alternativa de generación.

El costo anual descrito, está representado por la siguiente tarifa binomia:

$$C_{al} = K_T \times C_p \times P_t + H_T \times C_e \times P_t$$
 (F-2)

En donde:

Coi = Costo anual por interrupción de servicio.

KT = Número total de interrupciones al año.

 H_T = Tiempo total anual de interrupción.

Cp = Costo por potencia interrumpida.

Ce = Costo por energía interrumpida.

P₁ = Potencia total de la subestación.

4:3 COSTO ANUAL DE RECUPERACION DE CAPITAL

Se lo obtiene considerando en primer lugar el costo de cada equipo, para luego encontrar el costo total de instala - ción del esquema (Ci). Si un esquema de barras va a ser equipado en forma progresiva, se debe introducir un factor de escalamiento de precios que modifique los considerados en el año de evaluación. Para este caso hay necesidad de obtener el valor presente del equipamiento futuro, para el año de evaluación.

Se emplea el "Factor de Valor Presente" (PWF) (Present Worth Factor) que es igual a: (Ref. L3).

$$PWF = \frac{1}{(1+i)^n}$$
 (F-3)

En donde:

i = Interés.

n = Número de años.

Con el costo total de instalación se puede obtener el costo anual de recuperación de capital por amortización de equipos, empleando el "Factor de Recuperación de Capital" (CRF) (Capital Recovery Factor) que es igual a: (Ref: L3)

$$CRF = \frac{i(1+i)^n}{(1+i)^n - 1}$$
 (F-4)

En donde:

i = Interés considerado.

n = Número de años de vida útil del esquema.

Entonces se tiene que:

$$Crc = Ci \times CRF$$
 (F-5)

En donde:

Crc = Costo anual de recuperación de capital.

C; = Costo total de instalación de un esquema.

4.4 COSTO ANUAL TOTAL DE UN ESQUEMA

El valor que se obtiene de cada esquema y que sirve como base de comparación entre ellos es el costo anual total obtenido de la siguiente manera:

$$CAT = C_{qi} + C_{rc} (F-6)$$

En donde:

CAT = Costo anual total.

· C di = Costo anual por interrupciones de servicio.

Crc = Costo anual de recuperación de capital.

Se elige como alternativa conveniente, la que tenga el menor valor de costo anual total.

5. CONFIGURACIONES DE BARRAS, MODIFICACIONES EM PLEADAS Y EVALUACION

Los esquemas que se pueden considerar como básicos, son:

- Barra simple.
- Barra principal y transferencia.
- Doble barra con un solo disyuntor.
- 1 1/2 disyuntores.

Cada uno de ellos presenta características definidas de funcionamiento.

A continuación se presentan algunos aspectos típicos de cada uno de ellos y también de algunas variantes o modificaciones, en base a las características ya señaladas en 1.1 y que son:

- a. Continuidad y calidad de suministro de potencia y ene<u>r</u> gía.
- b. Operación.
- c. Protección.
- d. Facilidades de ampliación.
- e. Costo.

5,1 BARRA SIMPLE

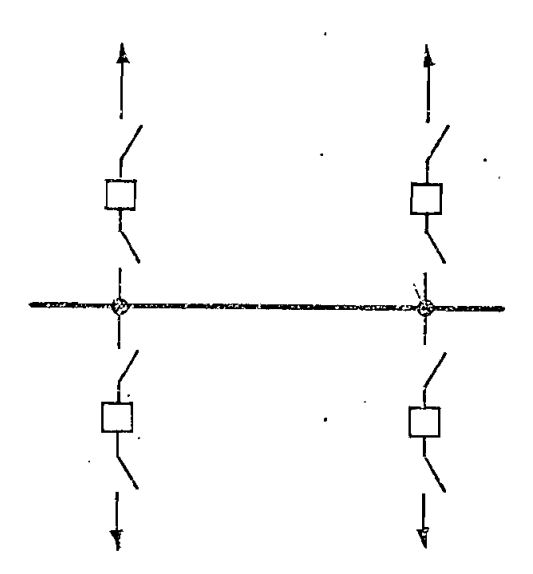


Fig. 1 BARRA SIMPLE

Esquema que agrupa un número dado de posiciones de interrupción sobre una barra única. Es el que menor número de equipos de protección tiene.

- a. La continuidad de servicio se pierde totalmente al fallar la barra. Lo mismo sucede al fallar una posición de interrupción, hasta que la misma pueda ser aislada.
- b. Su operación es relativamente simple en estado normal de funcionamiento. Para efectuar mantenimiento de dis yuntores se requiere que el alimentador respectivo sal ga de servicio y las maniobras requeridas son simples. No se puede efectuar mantenimiento de la barra a menos que se saque fuera de servicio, en forma total, el esquema de barras.
- c. La protección es simple.
- d. Las ampliaciones se pueden realizar sólo con la pérdida total de la potencia que maneja el esquema.
- e. Este esquema es el de más bajo costo.

5.2 BARRA SIMPLE SECCIONADA

Modificación ventajosa del esquema anterior, que incluye disyuntores normalmente cerrados que separan una barra $\underline{\omega}$ nica en secciones que pueden operar independientemente.

Se requiere alimentaciones separadas para cada sección.

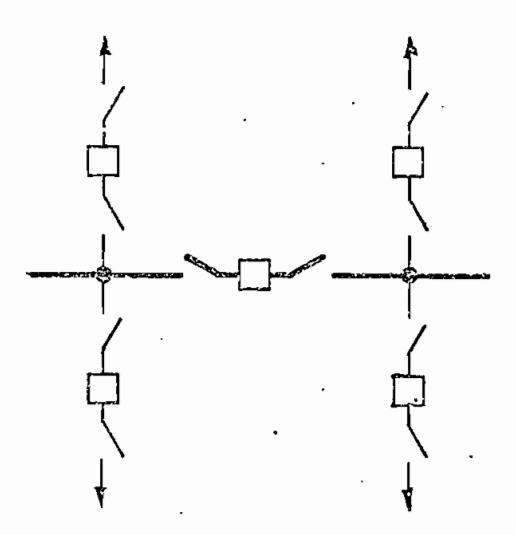


Fig. 2 BARRA SIMPLE SECCIONADA

- a. El seccioramiento de la barra evita la pérdida total de potencia por fallas en alguna de sus secciones o en posiciones de interrupción, quedando aislada la sección de barra que corresponde al elemento falloso.
- b. Su puesta en servicio no es complicada. El mantenimiento de disyuntores y secciones de barra puede efec
 tuarse sin la interrupción total del sistema y no requie
 re maniobras complicadas.
- c. La protección se complica algo por la necesidad de di<u>s</u>

criminar la sección de barra fallada y los alimentadores conectados a ella.

- d. Las ampliaciones necesarias se pueden realizar sin la pérdida total de suministro de potencia y energía.
- e. Su costo es bajo.

5.3 BARRA PRINCIPAL Y TRANSFERENCIA

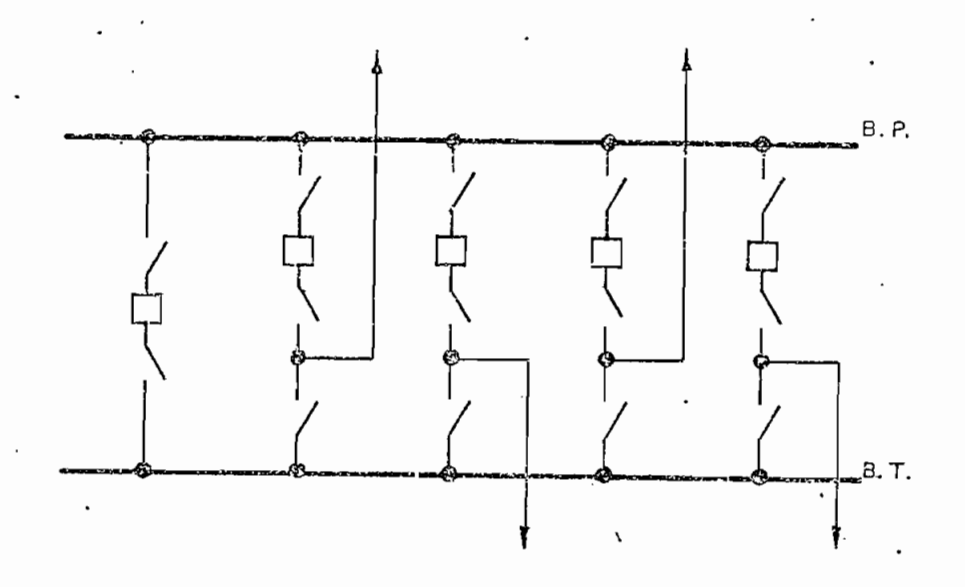


Fig. 3

BARRA PRINCIPAL Y TRANSFERENCIA

Esquema que introduce una barra que se emplea para efectuar mantenimiento de posiciones de interrupción.

- a. El funcionamiento del esquema depende totalmente de la integridad de la barra principal pues en caso de falla de ésta, el servicio se interrumpe totalmente. Una avería en una posición de interrupción obliga a la salida total del esquema, por el tiempo necesario para aislar la falla, perdiéndose después solo la potencia de la posición fallosa.
- b. La operación del arreglo de barras se complica algo en caso de efectuarse mantenimiento de posiciones de interrupción por cuanto se deben maniobrar disyuntores y seccionadores en estricto orden de ejecución para transferir un circuito de la barra principal a la de transferencia. No se puede realizar mantenimiento de la barra principal sin dejar de interrumpir el servicio en forma total.
- c. La protección no presenta mayores complicaciones aún en el caso de efectuarse mantenimiento de una posición de interrupción.
- d. Cualquier ampliación necesita de la salida total de ser vicio del esquema.
- e. Su costo es algo mayor que el de los esquemas anteriores por el empleo de un seccionador más por cada posición de interrupción y un disyuntor de transferencia.

5.4 DOBLE BARRA CON UN SOLO DISYUNTOR

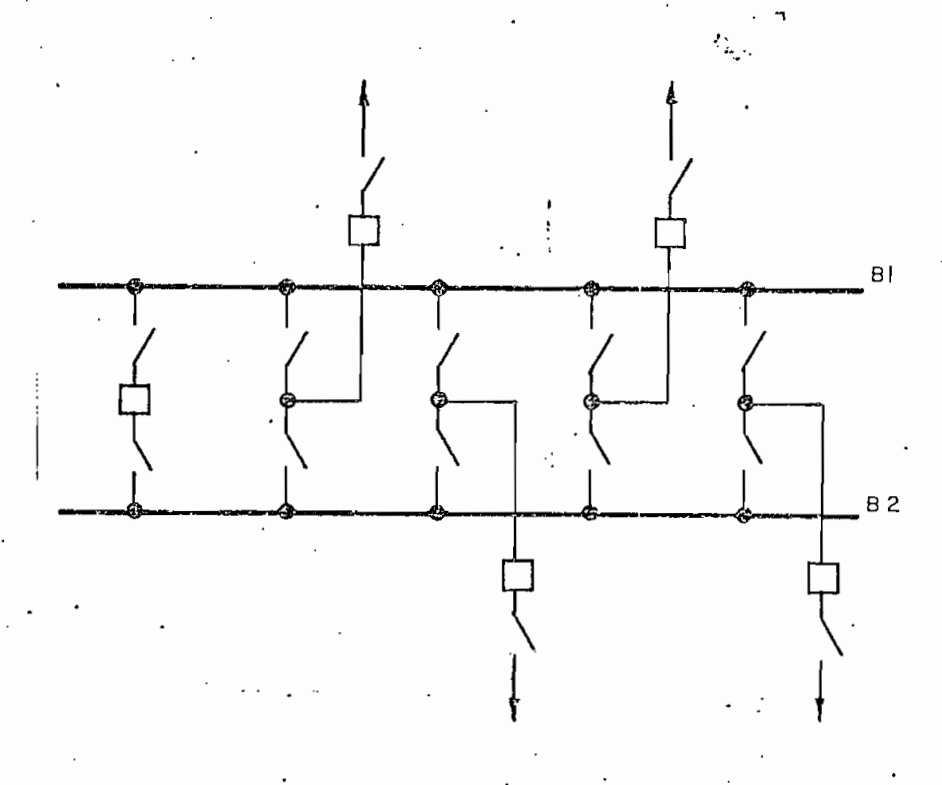


Fig. 4 . DOBLE BARRA CON UN SOLO DISYUNTOR

Esquema que duplica las facilidades presentadas por los es \underline{s} quemas anteriores.

a. En caso de falla de una barra, la otra puede entregar toda la potencia que necesita el sistema. Si un disyun tor falla, se pierde toda la potencia asociada a la barra a la que llega el alimentador con el disyuntor fallo so. Una vez aislada la posición averiada, se pierde solamente la potencia que esta maneja en estado normal.

- b. Este esquema no requiere maniobras complicadas para efectuar mantenimiento de posiciones de interrupción y barras, pero, es necesario cuidar de darle los inter bloqueos convenientes para disyuntores y seccionadores. El mantenimiento de barras se puede efectuar transfi riendo sus alimentadores a la otra barra, la cual puede suplir toda la potencia requerida. Al efectuarse mantenimiento de una posición de interrupción, se re quiere la salida del alimentador respectivo.
- c. La protección es relativamente simple.
- d. Las ampliaciones necesarias se pueden realizar sin interrupción de servicio.
- e. Su costo es comparable con el esquema de barra principal y transferencia.

5.5 DOBLE BARRA CON UN SOLO DISYUNTOR Y "BY PASS"

Esquema que presenta características similares al anterior, con la ventaja de que para efectuar mantenimiento de una posición de interrupción no se necesita la salida de servi - cio de su correspondiente alimentador. Sin embargo, es necesario tener más cuidado con la operación de disyunto - res y seccionadores y su protección se complica.

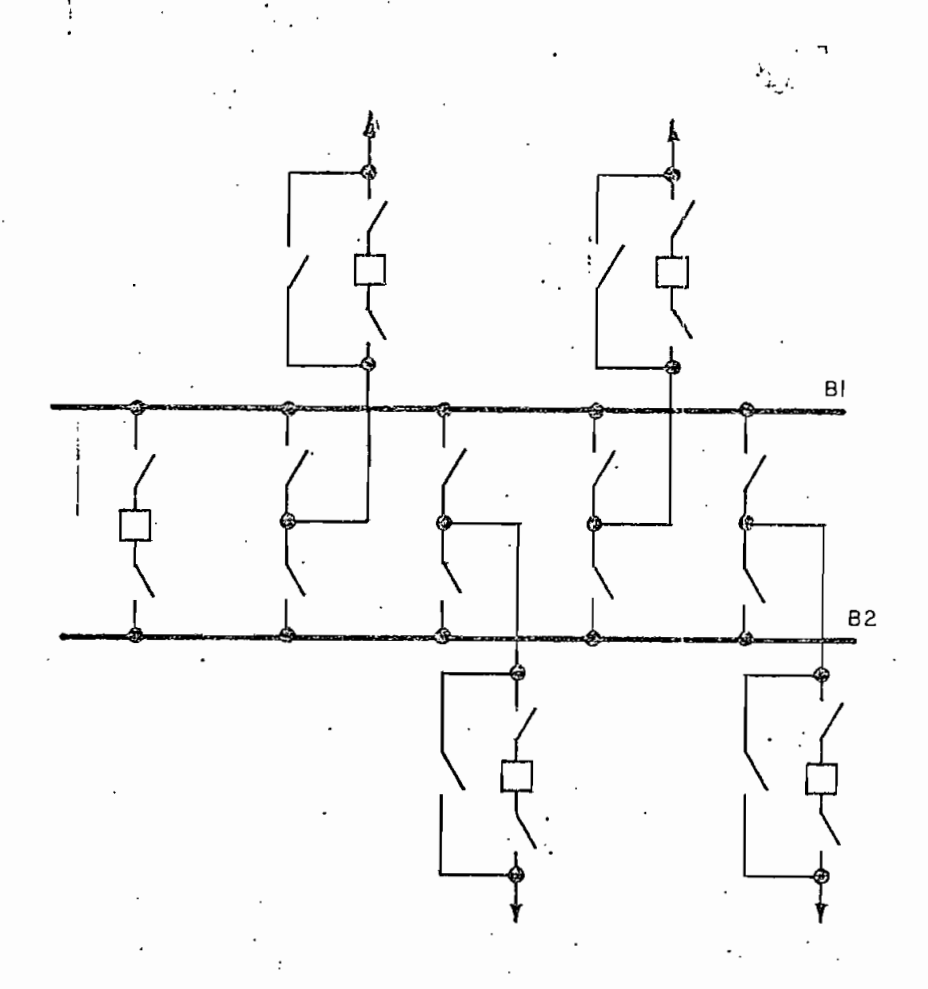


Fig. 5

DOBLE BARRA CON UN SOLO DISYUNTOR Y "BY PASS" ·

Su costo es mayor que el del anterior, por la utilización del seccionador "By Pass" en cada alimentador.

5.6 DOBLE BARRA CON DOBLE DISYUNTOR

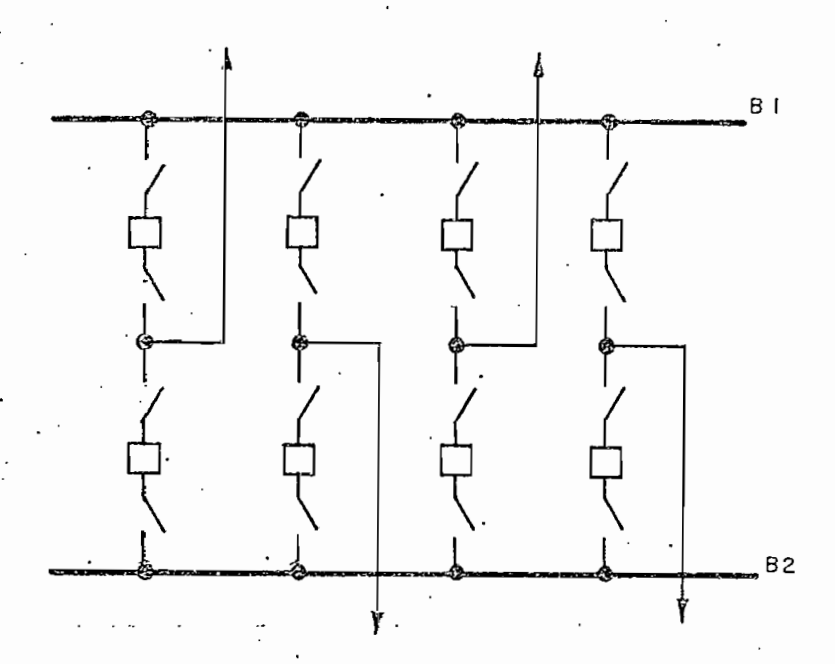


Fig. 6

DOBLE BARRA CON DOBLE DISYUNTOR

- a. Este esquema da la máxima seguridad de funcionamiento, y al igual que algunos esquemas, permite la conexión de un alimentador a cualquiera de las barras.
- b. Para el estado normal de funcionamiento, su operación es simple, en el caso de mantenimiento de posiciones de interrupción y barras, las maniobras requeridad se simplifican, puesto que se realizan solo con operación de disyuntores.
- c. La protección es simple.

- d. Cualquier ampliación puede ser realizada sin pérdida de continuidad de servicio.
- e. El costo de este tipo de esquema es muy alto y solo se justifica para subestaciones a voltajes muy elevados o para aquellas que sirven cargas muy importantes.

5.7 1 1/2 DISYUNTORES

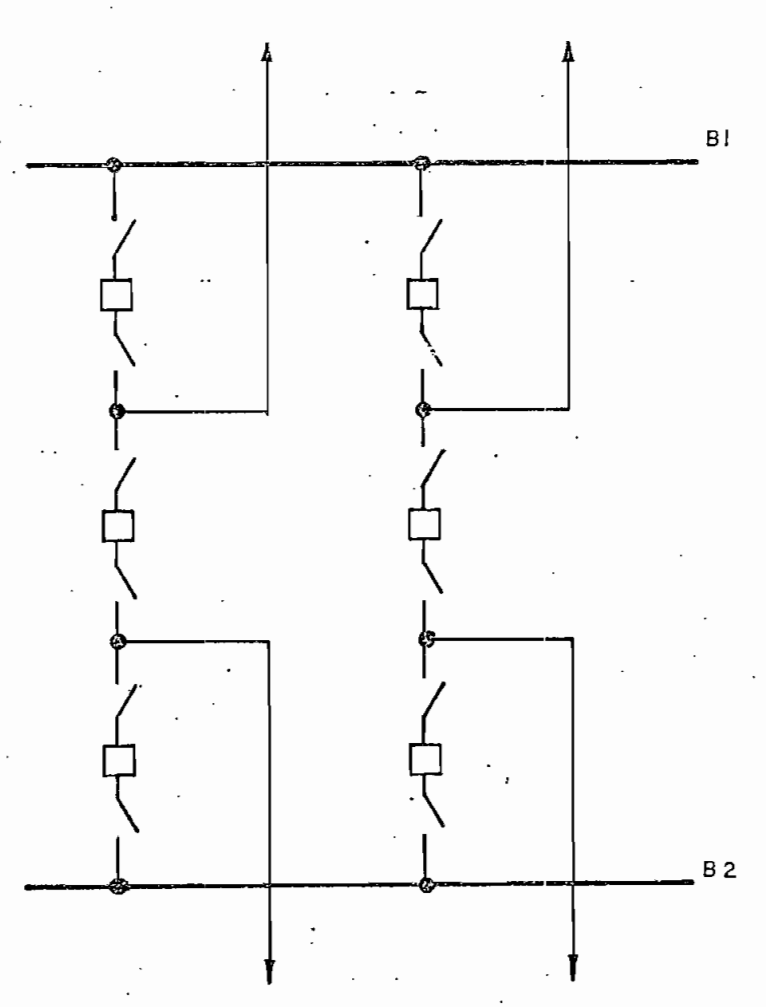


Fig. 7
1 1/2 DISYUNTORES

Arreglo que dá similares facilidades que el esquema anterior con la ventaja de un menor costo por el empleo de un disyuntor menos por cada dos salidas.

TABLA Nº 2

TIPOS DE AVERIAS EN ESQUEMAS CON UNA SOLA BARRA

| TIPO DE AVERIA | | PROBAB. OCURRENCIA AVERIA | | NUMERO ANUAL DE AVERIAS | | DURACION CADA AVERIA | | TIEMPO TOTAL DE INTERRUPCION | |
|-------------------------|--------|------------------------------|--------------------------------------|-------------------------|--|-------------------------|-------------------|------------------------------|-------------------|
| | | DENOMINAC. | $\left[\frac{AV.}{A\bar{N}O}\right]$ | DENOMINAC. | VALOR | DENOMINAC. | VALOR- (HORAS) | DENOMINAC. | VALOR (HORAS) |
| EN LA BARRA | | Pl | 0.02 | G _I | p _I ·x b x PI PT | ţį | 120 | Hı | Gixti : |
| 5U -001010100 | GRAVE | P3I | 0.02 | G ₃₁ | p ₃₁ x M x Pi | † ₃₁ | 360 | H ₃₁ | G31 x t31 x P2 |
| EN POSICIONES DE . | LEVE | P32 | 0.05 | G 32 | p ₃₂ x M x P ₁ | t 32 | 24 | H32 | G32x 132x P2 |
| INTERRUPCION | TOTAL. | | | Gз | . G31 + G32 | | | . Нз | H31 + H32+ 0.5 G3 |
| SIMULTANE, EN BARRAS | | P ₅ | 0.0003 | G 5 | p5 x b x <u>P1</u> | 't 5 | 120 | H ₅ | G5 x t5 |
| TOTAL | | • | | Кт | G ₁ + G ₃ + G ₅ | | | НΤ | Hi + H3 + H5 |

b = NUMERO DE BARRAS

M = NUMERO DE POSICIONES DE INTERRUPCION

PI = POTENCIA ASOCIADA A LA BARRA

P2 - POTENCIA ASOCIADA A LA POSICION DE INTERRUPCION

PT = POTENCIA TOTAL DE LA SUBESTACION

TABLA 'Nº 3 TIPOS DE AVERIAS EN ESQUEMAS CON VARIAS BARRAS

| TIDO OF AVERIA | PROB. OCURRENCIA AVERIA | | NUMERO ANUAL AVERIAS | | DURACION C/ AVERIA | | TIEMPO TOTAL INTERRUPCION | |
|------------------------------------|----------------------------|-----------------------|----------------------|------------------------|--------------------|----------------------|---------------------------|--|
| TIPO DE AVERIA ; | DENOMINAC | VALOR (AVERIA/AÑO) | DENOM. | V A L O R | DENOM. | VALOR (HORAS) | DENOM. | VALOR . (HORAS) |
| EN BARRA PRINCIPAL | р 1 | 0. 02 | G i | plxbpx P1 PT | † 1 | VALORES TABLA #1. | H 1 | G1 x 11 |
| | ⊁ p2 | 0.02 | G 2 | P2 x bt x m x M x PT | t 2: | . 48 | Н 2 | G2 x 12 |
| EN BARRA DE TRANSFERENCIA | ** p'2 | 0.0004 | G'2 | p'2 x bt x m' x M x P1 | t ['] 2 | 120 | Н'2 | G'2 x t'2 |
| | TOTAL | | GZT | G2 + G'2 | | | Н2Т | H2 + H'2 |
| EN UNA POSICION DE INTERRUPCION | p 3 | 0.07 | G 3 · | р3х Мх <u>Р1</u> | t 3 | 0.5 | н 3 | G3 x t3 |
| | * p4 | 0.0004 | • G4 · | p4 x N x P1 | 1 4 | · 48 | Н 4 | $G4 \times 14 \times \frac{P2}{P1} + 0.5 G4$ |
| SIMULTANEA EN POSICIONES DE | ** p 4 | 0.0002 | g'4 | p'4 x N' x P1 | t' 4 | 360 | н'4 | G'4xt'4 x P2 + 0.5 G4 |
| INTERRUPCION | TOTAL | | G 4 T | G 4·+ G' 4 | | | Н4Т | н4 + н'4 |
| SIMULTANEAS EN BARRAS | p 5 | 0.0003 | G 5 . | p 5 x bt x P1 PT · | † 5 | 120 | H 5 | G5 x † 5 |
| TOTAL | | _ | кт. | G1 + G2T + G3 + G4T+G5 | | | нт | H1+H2T+ H3+H4T+H5 |

bt = Nº DE BARRAS DE TRANSFERENCIA

bp = Nº DE BARRAS PRINCIPALES

 $m = \frac{48}{8760} = 0.0055$

M = # DE POS. DE INTERRUPCION $<math>m' = \frac{360}{8760} = 0.041$

P1 = POT. ASOCIADA A LA BARRA

P2 = POT. ASOCIADA A UNA POSICION

PT = POTENCIA TOTAL S/E

N = M(M-1)

N'= M-1

* MANTENIMIENTO POSICION DE INTERRUPCION ** REPARACION POSICION DE INTERRUPCION

CAPITULO II

PROTECCION DE BARRAS

CONSIDERACIONES GENERALES

1.

El crecimiento acelerado de la demanda de energía eléctrica ha traído como consecuencia el incremento de las corrientes de cortocircuito, las mismas que requieren cada vez más pequeños tiempos de operación de disyuntores para la desconexión del elemento de fallado. Esto se aplica particularmente a los puntos de un sistema de potencia, en donde aparecen las más grandes concentraciones de carga como son las barras de una subestación.

Afortunadamente, las estadísticas prueban que las fallas en barras son muy raras, sin embargo, se las debe tomar muy en cuenta y por tanto requieren el diseño de un adecuado sistema de protección que las detecte.

2. <u>ELEMENTOS EMPLEADOS EN LA PROTECCION DE BA</u>RRAS

Básicamente son las siguientes:

- Transformadores de protección.
- Relés.
- Elementos de apertura.
- Circuitos de control.

A continuación se detallan brevemente las características principales y clases empleadas.

2.1 TRANSFORMADORES DE PROTECCION

Son los transformadores diseñados para reproducir en su circuito secundario la corriente o voltaje de su circuito primario dentro de una proporción conocida, definida y a propiada para su utilización en dispositivos de protección, conservando sustancialmente la relación de fase entre las magnitudes primarias y secundarias.

Dentro de este grupo se incluyen los divisores capacitivos de potencial que operan transformando voltajes.

Los transformadores de protección son empleados por va - rias razones, siendo las más importantes las siguientes:

- Aislar del circuito de alta tensi\u00e3n el equipo de control y por lo tanto el personal que lo opera.
- Obtener de sus secundarios voltajes y corrientes dentro de rangos normalizados, lo que permite emplear niveles razonables de aislamiento y uniformidad de los relés y demás equipos auxiliares.

Para estos transformadores de protección es necesario tomar muy en cuenta las características del circuito conecta do a sus bornes de salida, circuito cuya capacidad se la conoce con el nombre generalizado de "burden" y que determina la potencia activa y reactiva en los terminales secundarios. Se expresa ya sea en términos de impedancia de la carga con sus componentes de reactancia y resistencia o bien como los volt-amperios y factor de potencia al valor es pecificado de corriente o voltaje y frecuencia.

2.1.1 Transformadores de Corriente

Transformadores cuyo circuito primario se conecta en serie con el circuito de potencia cuya corriente debe ser medida o controlada.

Para protección de barras, es de uso generalizado el transformador de corriente tipo "bushing" por tener sus bobinados distribuídos, lo que permite que la resistencia de su se cundario se mantenga baja, en caso de saturación, característica deseable para el objetivo indicado, como se verá posteriormente.

Entre las características particulares de los transformadores de corriente se tienen:

a. <u>Cargas Secundarias Normalizadas</u>

Determinadas por las normas ANSI (Ref: N1) y que se presentan en la tabla N° 4.

TABLA Nº 4

BURDEN STANDARD PARA TRANSFORMADORES DE CORRIENTE

| DESIGNACION | CARACTERISTICAS | | CARACTERISTICAS PARA 60 Hz Y 5A DE I SEC. | | |
|------------------------|-----------------|--------------------|--|-------------|--------------------------|
| DEL BURDEN STANDARD | RESIST. -Ω | INDUCTANCIA m H | IMPEDANC. | VOLT-AMPER. | FACTOR DE POTENCIA |
| | | | í | | |
| B-0.1 | 0,09 | 0.116 | 0.1 | 2.5 | 0,9 |
| B-0.2 | 0.18 | 0.235 | .0.2 | 5.0 | 0.9 |
| B-0.5 | 0,45 | 0.580 | .0.5 | 12.5 | 0.9 |
| B-1 | 0.5 | 2.3 | 1.0 | 25 | 0.5 |
| B-2 | 1.0 | 4.6 | 2.0 | 50 | 0.5 |
| B-4 | 2.0 | 9,2 | 4.0 | 100 | 0.5 |
| B8. | 4.0 | 18.4 | 8.0 | 200 | 0.5 |

b. Precisión

Que es la medida de la habilidad de los transformadores de corriente para reproducir en su secundario, en
magnitudes más pequeñas, dentro de rangos normaliza
dos, la corriente primaria, sin grandes errores.

Para uso en protecciones se señala esta característica por medio de dos símbolos, así:

1. C, que significa que la relación de corriente del

transformador puede ser calculada mediante métodos corrientes; o, T que significa que esta relación debe ser obtenida mediante prueba.

En el grupo de transformadores de corriente tipo C están todos los que tienen sus bobinados uniformemente distribuídos y aquellos en los cuales el flujo magnético producido en su núcleo causa un efecto despreciable en la relación de corrientes de primario a secundario dentro de los límites normales.

La clasificación T agrupa a todos aquellos transformadores de corriente en los cuales el flujo magnético presente en el núcleo tiene un efecto bastante apreciable en la relación de corrientes indicada.

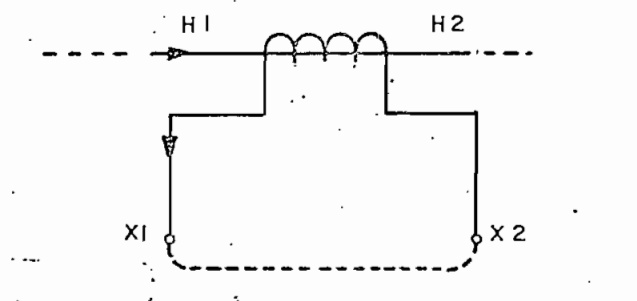
2. El valor de voltaje terminal secundario que el trans formador provee a un burden normalizado a 20 ve - ces la corriente normal secundaria sin exceder al 10 % de error. Además el error debe limitarse a este 10 % a cualquier corriente de una a 20 veces la relación normal de corriente, a cualquier burden menor del normalizado.

c. <u>Polaridad</u>

Que sirve para mostrar las direcciones del flujo de co

rriente en relación a otra corriente o a un voltaje, con el objeto de poder realizar las conexiones apropiadas de varios transformadores que, como en el caso de es quemas diferenciales, hacen uso de la suma o diferencia de corriente para producir resultados deseables como el torque necesario en un relé.

Las polaridades relativas de los terminales primarios y secundarios son identificadas por ciertas marcas o por el uso de los símbolos H1 y H2 para los terminales primarios y X1 y X2 para los secundarios se ha convenido en que cuando la corriente primaria entra por H1, la corriente secundaria sale por X1, igual cosa con H2 y X2. Las marcas de polaridad se muestran en la Figura 8.



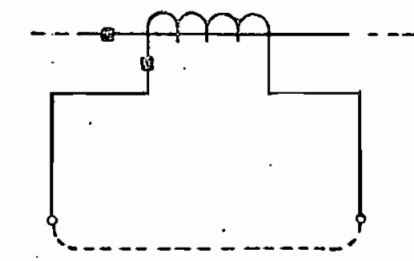


Fig. 8

MARCAS DE POLARIDAD EN T.C.

2.1.2 Transformadores de Potencial

Son dispositivos diseñados para que su enrollado primario sea conectado en paralelo con un circuito de potencia cuyo voltaje debe ser medido o controlado.

Algunas características de estos transformadores se indi - can a continuación:

a. Cargas Secundarias Normalizadas

Según las normas ANSI (Ref: N1) son las que se indican en la Tabla N° 5

TABLA Nº 5

CARGAS SECUNDARIAS NORMALIZADAS

| Burden | Volt-amperios | Factor de | |
|----------|---------------------------------------|-----------|--|
| Standard | · · · · · · · · · · · · · · · · · · · | Potencia | |
| W | 12.5 | 0.1 | |
| × | · 25 | 0.7 | |
| Y | 75 | . 0.85 | |
| z | 200 | 0.85 | |
| ZZ | 400 | 0.85 | |
| | 1 | | |

b. Precisión

Las normas ANSI clasifican a los transformadores de potencial en tres clases designadas con las cifras 0.3, 0.6 y 1.2, las cuales indican el porcentaje de error máximo que puede tener la razón del transformador al conectarse un burden normalizado para cualquier volta je comprendido entre el 90 % y el 110 % del voltaje no minal.

Conviene indicar en este caso que los errores de relación de transformación y ángulo de fase se consideran pequeños y pueden ser despreciados para propósitos de protección, si los volt-amperios consumidos por el burden no exceden el límite de temperatura especificado del transformador.

c. Polaridad

Los terminales de los transformadores de potencial es tán marcados para indicar las polaridades relativas de los bobinados primario y secundario. Usualmente los correspondientes terminales de alta y baja tensión están marcados "H1" y "X1" respectivamente. La relación entre los voltajes de alta y baja tensión es tal que \times 1 tiene la misma polaridad instantánea de H1, como se muestra en la Figura N° 9.

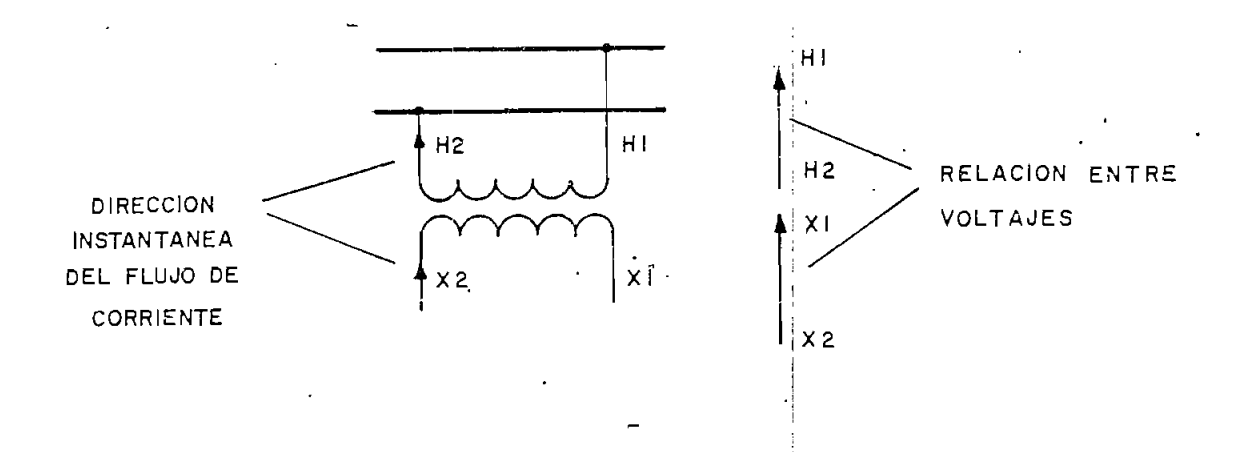


Fig. 9

SIGNIFICADO DE LAS MARCAS DE POLARIDAD EN

TRANSFORMADORES DE POTENCIAL

2.1.3 <u>Dispositivos capacitivos de potencial</u>

Elementos que miden el voltaje de un sistema de alta ten - sión mediante un divisor capacitivo de tensión que se conecta entre una fase y el neutro.

Estos dispositivos pueden ser de dos clases, diferenciados por los elementos de ajuste. Los dispositivos clase "A" son llamados "En Fase" ó "Resonantes" y son los que se emplean para propósito de protecciones; el otro tipo, clase "C" o "Fuera de Fase" ó "No Resonantes" no se emplean para este propósito.

Los divisores capacitivos de potencial se presentan bajo dos formas de construcción:

- Con condensador de acoplamiento (Fig. 10.a)

- Tipo "bushing" (Fig. 10.b).

El principio de funcionamiento en ambos casos es idéntico.

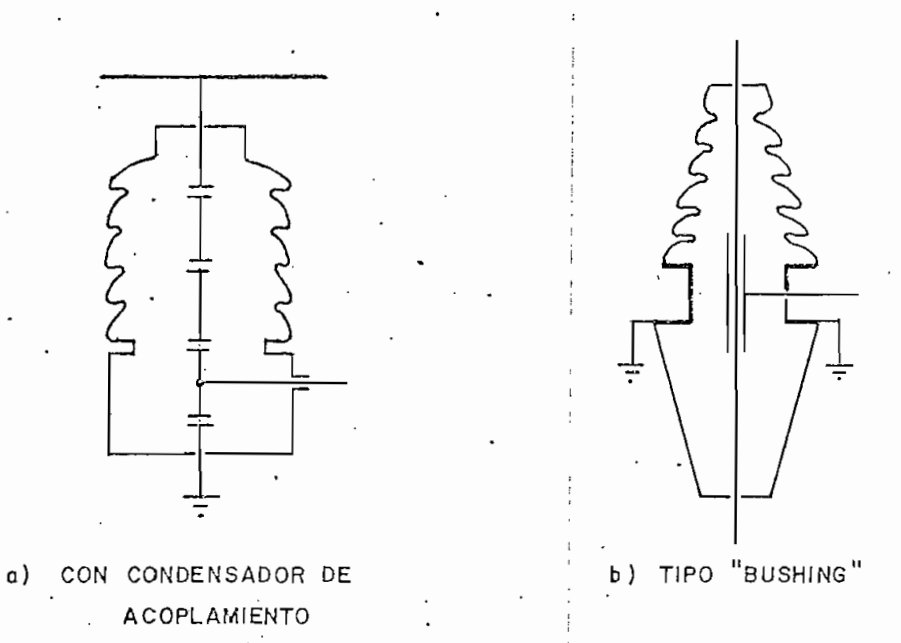


Fig. 10
CLASES DE DIVISORES CAPACITIVOS DE POTENCIAL

Los dispositivos clase A, tienen dos bobinados secundarios, ambos al voltaje nominal de 115 V. y también un tap a 66.4 voltios. La Figura 11. muestra un diagrama esquemá tico de este elemento y su circuito equivalente aparece en la Figura 12. La reactancia equivalente $\times_{\rm L}$ es ajustable para ponen en fase el voltaje $\vee_{\rm R}$ con el voltaje fase tierra del sistema $\vee_{\rm S}$. El burden se muestra como una resistencia porque es práctica común corregir su factor de potencia aproximadamente hasta la unidad por el uso de una carga ca

pacitiva-resistiva auxiliar. Cuando el dispositivo esta correctamente ajustado se tiene que:

$$\times_{L} = \frac{\times_{c1} \times_{c2}}{\times_{c1} + \times_{c2}}$$

$$CONDUCTOR DE FASE$$

$$C1$$

$$X2$$

$$G66.4 V$$

$$Y2$$

$$G66.4 V$$

$$Y3$$

$$Fig. 11$$

$$(F-7)$$

DIAGRAMA ESQUEMATICO DE UN D.C.P. "CLASE A"

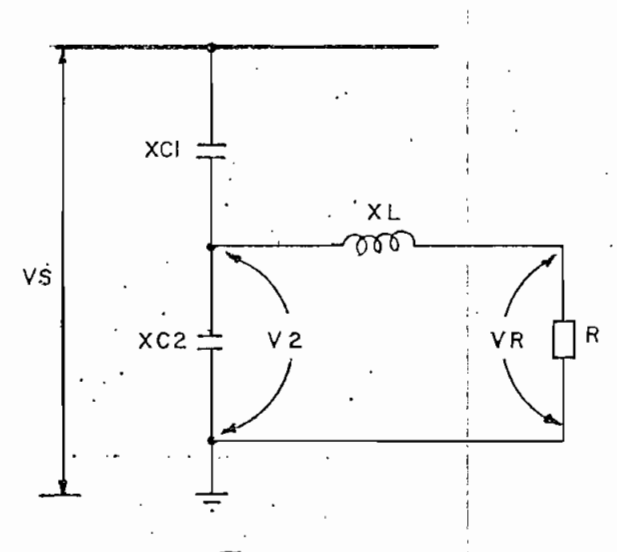


Fig. 12

CIRCUITO EQUIVALENTE DE UN D.C.P. "CLASE A"

a. Cargas Secundarias Normalizadas

El burden normalizado de un bobinado secundario de un dispositivo capacitivo de potencial se específica en watts al voltaje nominal secundario, cuando se aplica el voltaje nominal fase a tierra. El burden nominal del dispositivo es la suma de los watts nominales de ambos bobina dos secundarios.

Los burden nominales de los dispositivos de potencial tipo "bushing" se indican en la Tabla Nº 6 (Ref: L4)

TABLA Nº 6

CARGAS SECUNDARIAS NORMALIZADAS PARA

DISPOSITIVOS CAPACITIVOS DE POTENCIAL

TIPO "BUSHING"

| Voltaje | Burden - Nominal | |
|-----------|---------------------|---------|
| Fase-fase | Fase-tierra | (watts) |
| 115 | 66.4 | 25 |
| . 138 | 79.7 | 35 |
| 161 | 93.0 | 45 |
| 230 | 133 | 80 |
| 287 | 166 | 100 |

El burden nominal de un dispositivo de potencial con con densador de acoplamiento es 150 watts para cualquier vol taje nominal incluyendo los de la Tabla N° 6.

b. Exactitud

Para los divisores capacitivos de potencial "Clase A" se especifican los siguientes valores de máxima desvia ción normalizada en relación de voltajes y ángulos de fase para burden nominal y para varios valores de voltaje primario con el dispositivo ajustado para la exactitud especificada al voltaje primario nominal.

TABLA Nº 7

ERRORES DE RELACION Y ÁNGULO DE FASE

CONTRA EL PORCENTAJE DE VOLTAJE

| Porcentaje del | Máxima Desviación | | |
|-----------------------------|-------------------|----------------------------|--|
| voltaje nominal primario | Relación. (%) | Angulo de fase (grados) | |
| | | | |
| 100 | <u>+</u> 1.0 | <u>+</u> 1.0 | |
| 25 | <u>+</u> 3.0 | <u>+</u> 3.0 | |
| 5 | <u>+</u> 5.0 | <u>+</u> 5.0 | |

La Tabla Nº 8 indica los valores de máxima desviación normal en relación de voltaje y ángulo de fase para voltaje nominal y para varios valores de burden con el dispositivo ajustado para la precisión especificada al bur den nominal.

TABLA Nº 8

MAXIMA DESVIACION NORMAL PARA DIFERENTES

VALORES DE BURDEN

| Porcentaje del | Máxima Desviación | | |
|----------------|-------------------|------------------------|--|
| burden nominal | Relación (%) | 'Angulo de fase (°) | |
| 100 | <u>+</u> 1 | <u>+</u> 1 | |
| 50 | <u>+</u> 6 | <u>+</u> 4 | |
| . 0 | · <u>+</u> 12 | · <u>+</u> 8 | |

2.2. RELES

Son los dispositivos que reciben la información de los trans formadores de protección y pueden discriminar entre las con diciones normales y anormales de un sistema eléctrico.

La ocurrencia de anormalidades en un sistema puede ser de tectada por varios métodos de los cuales el aumento de corriente sobre su valor normal, es el más sencillo y de ma yor aplicación en el diseño de esquemas de protección. Pa ra la protección de barras se hace uso de comparación de corrientes en esquemas denominados diferenciales que em plean relés del mismo nombre (87) y en cierto tipo de esque ma de barras, como el de doble barra con un solo disyuntor y "by pass", se incluyen también relés direccionales que operan permitiendo la apertura de disyuntores solo para una

cierta dirección del flujo de corriente y otros relés que de terminan si es un cortocircuito el que origina que fluya la corriente y si el cortocircuito está lo suficientemente cerca para que haya disparo del disyuntor correspondiente.

A continuación se indican las características principales de los relés mencionados y su comportamiento frente a las fallas que pueden causar su operación. El funcionamiento del relé diferencial empleado en protección de barras se indicará posteriormente.

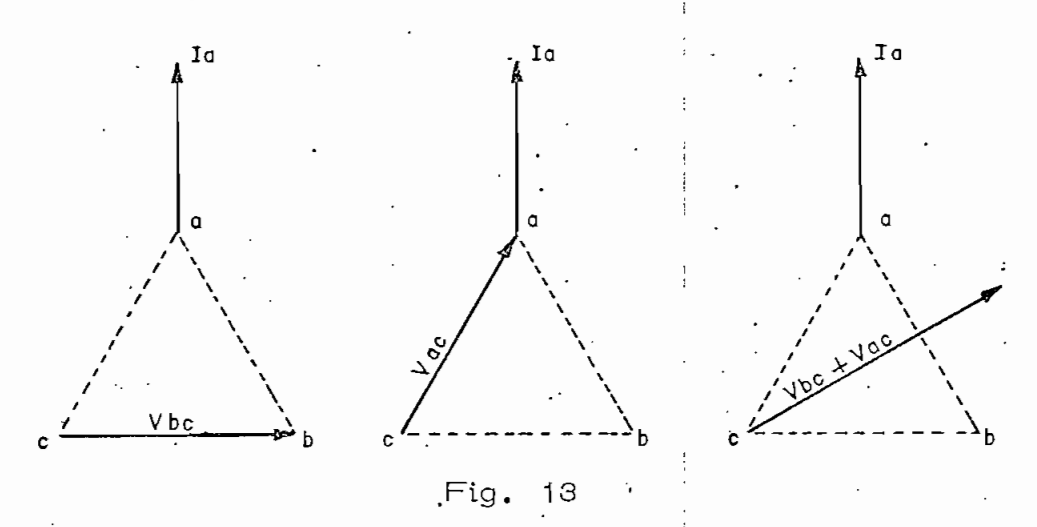
2.2.1 Relé Direccional

Es un dispositivo que recibe la señal de dos magnitudes actuantes, producidas en diferentes fuentes. Este relé puede reconocer ciertas diferencias en ángulo de fase entre estas magnitudes. Una de las magnitudes actuantes que recibe este relé se denomina magnitud polarizante y se caracteriza por permanecer constante en cualquier estado del sistema eléctrico. Esta es la referencia con la que se compara el ángulo de fase de la otra magnitud.

En general se puede decir que los relés direccionales cum plen con la función de detectar el sentido de flujo de una potencia eléctrica. El problema principal que presenta la potencia en su aplicación como magnitud de medida para un cortocircuito es que la tensión en el lugar de la falla es nula y en consecuencia la potencia no puede medirse, razón

por la cual hay necesidad de conseguir para este relé un factor de potencia igual a la unidad eligiendo voltajes y corrientes tales que con su desfase en condiciones normales compensen el ángulo de atraso que con respecto al voltaje tienen las corrientes de cortocircuito.

Para obtener una correcta discriminación direccional para cortocircuitos desbalanceados (falla fase-fase, fase-tierra o dos fases a tierra) se pueden emplear varias combinacio - nes de corrientes y voltajes. En la Figura Nº 13 se indican las combinaciones más empleadas para relés de fase.



CORRIENTES Y VOLTAJES PARA RELES DIRECCIONALES

DE FASE

Las condiciones mostradas son para uno de tres relés monofásicos o para uno de tres elementos de un relé polifásico. Los otros dos relés o elementos usarán las otras dos
combinaciones voltaje—corriente correspondientes.

En la Figura Nº 14 se presenta una conexión de las bobi - nas de corriente de relés direccionales que detecta fallas entre fases y fallas a tierra, con la corriente de falla fluyendo en una sola dirección.

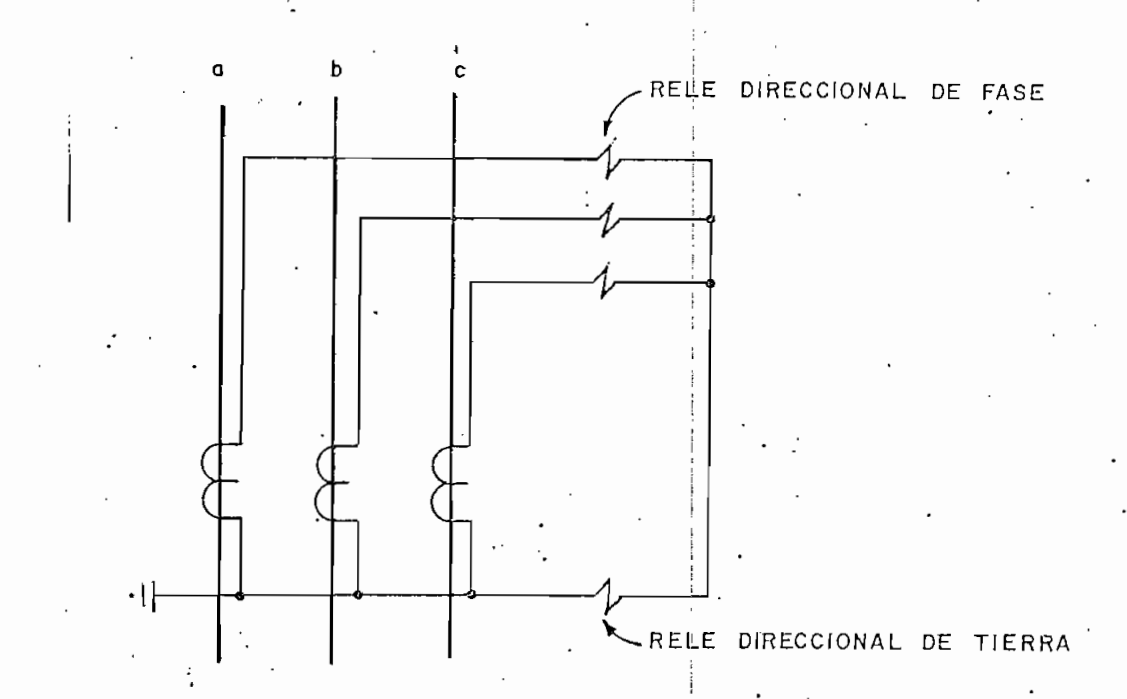


Fig. 14

CONEXION DE ELEMENTOS DE CORRIENTE PARA RELES

DIRECCIONALES DE FASE Y TIERRA

Las magnitudes de polarización para relés direccionales de fase y de tierra, son diferentes. Para relés de fase se emplea el voltaje del sistema como se ha indicado anterior mente.

Para relés de tierra pueden emplearse algunas magnitudes tales como:

- Voltaje residual.
- Corriente residual.

La polarización por corriente residual se la obtiene desde el transformador de potencia de la subestación siempre que la conexión sea conveniente, mediante un transformador de corriente en la conexión a tierra del transformador de potencia.

2.2.2 Relé Direccional de Sobrecorriente

Que es una combinación de unidades direccional y de sobre corriente, en un solo relé, operando la última en el caso de detectar una corriente superior a la normal. Estos relés pueden tener dos tipos de relación de las unidades descritas:

- Supervisión direccional.
- Control direccional.

En el caso de supervisión direccional, se conectan los contactos de los elementos de sobrecorriente y direccional en serie con el circuito de apertura del disyuntor, de manera que mientras no se cierren los dos contactos no se completa dicho circuito.

El control direccional se obtiene combinando los elementos direccional y de sobrecorriente de tal manera que mientras no opere el direccional no pueda operar el de sobrecorriente.

2.2.3 Relés Auxiliares

Relés convencionales que se ponen en operación cuando han cerrado los contactos detectores de fallas y sirven para disparar o bloquear la operación de disyuntores.

2.3 ELEMENTOS DE APERTURA

Son aparatos diseñados para separar en secciones a un sistema eléctrico. Se distinguen dos clases:

2.3.1 Seccionadores

Que operan abriendo o cerrando un circuito eléctrico. No interrumpen corriente de carga ni corrientes de cortocircui to. Interrumpen solamente I de magnetización. Estos dis positivos tienen acoplado a su mecanismo de cierre o apertura, juegos de contactos auxiliares que funcionan siguiendo

la posición de estos. Los contactos auxiliares se emplean en los circuitos de control.

2.3.2 Disyuntores

Elementos que operan comandados por los relés o manualmente por los operadores y que sirven para abrir o cerrar un circuito eléctrico con corriente; son capaces de conectar o desconectar la corriente normal así como las corrientes de fallas.

Cuando los disyuntores operan para cortar corrientes, a - bren sus contactos en un tiempo que varía entre 0.033 segundos a 0.2 segundos y para la calibración se debe incluir un tiempo extra que se demoran en extinguir el arco.

Acoplado al mecanismo de apertura o cierre del disyuntor se tiene un juego de contactos auxiliares: los contactos "a" que operan siguiendo la posición del mismo y los contactos "b" que siguen la posición contraria a la del disyuntor. Existen también juegos de contactos que operan algo adelan tados a la posición que ocupa el disyuntor al accionar, son los contactos "aa" y ".bb".

Estos contactos auxiliares cumplen diversas funciones como son: desconectar las corrientes de cierre o apertura al completar el disyuntor su operación; comandar las señalizaciones visuales o auditivas de operación del disyuntor o comandar reconexiones del mismo.

2.4 CIRCUITOS DE CONTROL

Son los elementos y dispositivos que interconectan transformadores de protección, elementos de apertura y relés: alambrados, switches, relés auxiliares, lámparas indicadoras, etc.

Como una aplicación de circuitos de control se indica en la Figura 15., un circuito típico de disparo y cierre de un disyuntor, anotándose que para los diferentes dispositivos y relés se ha adoptado una nomenclatura basada en la que aparece en la Ref: L1, la misma que se indica en el anexo A.

2. ESTUDIO DE LOS ESQUEMAS DE PROTECCION PARA LAS CONFIGURACIONES USUALES DE BARRAS

3.1 REQUERIMIENTOS DE UN SISTEMA DE PROTECCION DE BARRAS

Entre las características convenientes que un sistema de protección de barras debe tener se indican las siguientes:

- Desconexión rápida.
- Confiabilidad.
- Selectividad .
- Flexibilidad en operación.
- Facilidades de modificación y extensiones.
- Facilidades para pruebas.

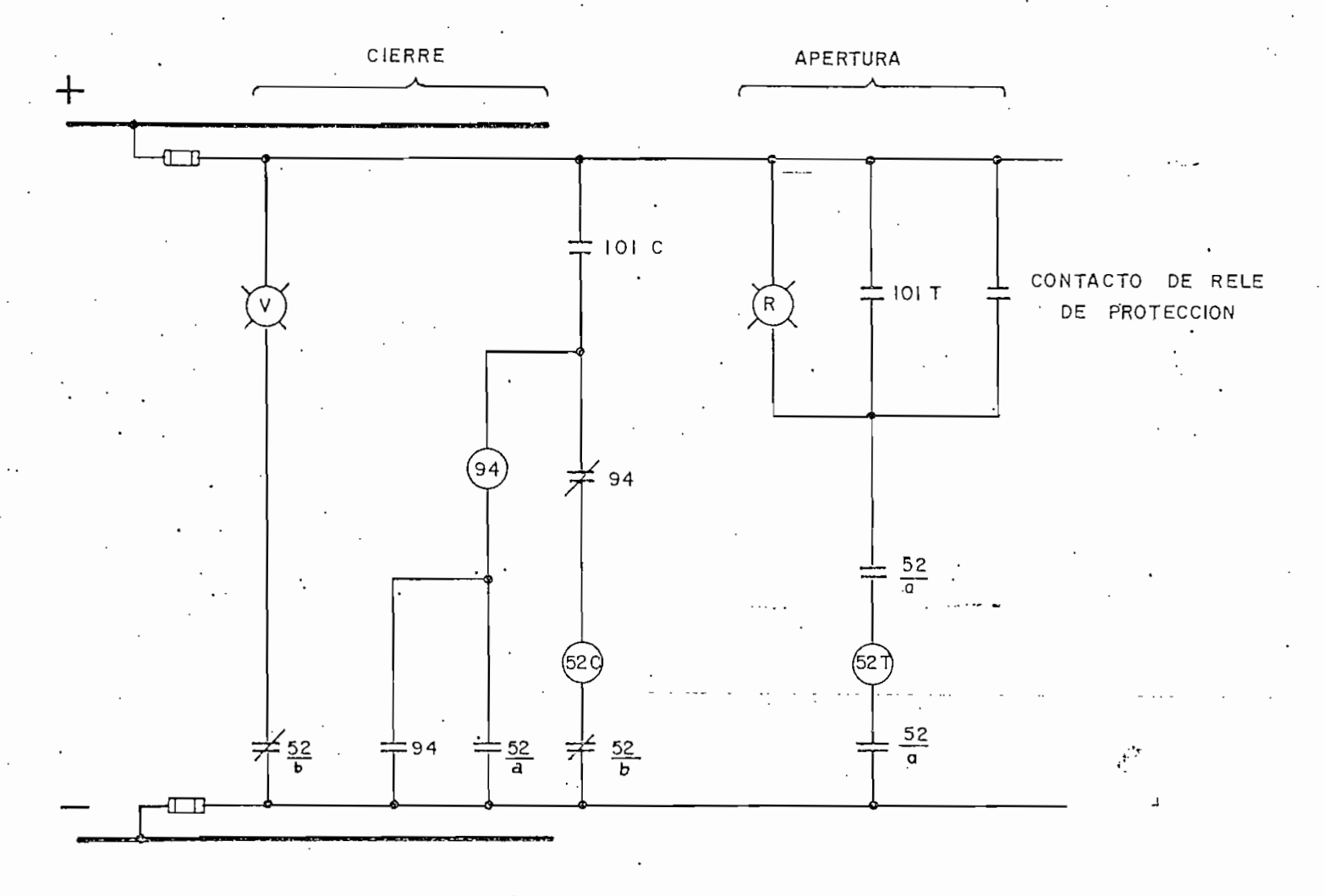


Fig. 15
CIRCUITO TIPICO DE CIERRE Y APERTURA DE DISYUNITORES

a. <u>Desconexión Rápida</u>

La mayoría de fallas en barras están acompañadas de arcos que pueden causar daños considerables a una instalación, por lo que se estipula que para minimizar este daño y la consecuente suspensión de servicio, el sistema de protección debe ser capaz de ordenar apertura de disyuntores en el menor tiempo posible (máximo un ciclo); en esta forma con el tiempo de operación de un disyuntor (dos, tres ciclos), se tendría un tiempo de flujo de la corriente de falla menor que 100 mili segundos, limite que se considera que una vez sobrepa sado requiere el reemplazo de una considerable cantidad de equipamiento por daños ocasionados por la falla en el caso de subestaciones de sistemas interconectados.

ر در ده

b. Confiabilidad

Cualidad que permite garantizar la operación de los relés y en definitiva del o de los disyuntores que comanda el esquema de protecciones, en caso de ocurrir la falla para la cual ha sido diseñado. Es deseable tener la certeza de un funcionamiento correcto, sin desco nexiones erróneas de secciones de barra que pueden producir la interrupción de servicio a grandes áreas y la consiguiente pérdida económica por energía no servida.

c. Selectividad

Las protecciones de barra deben responder solo en el caso de falla dentro de la zona que ellas protegen, des conectando solo aquellas barras o secciones que son a fectadas directamente por la avería. La regla general que debe seguirse es la de evitar de la mejor manera desconexiones innecesarias.

d. Flexibilidad en Operación

Bajo ninguna circunstancia, el sistema de protección de be representar un obstáculo para la operación de la subestación. En funcionamiento normal, mantenimien to o reparación de elementos del esquema de barras de be emplearse por lo general, algunas secciones en reem plazo de otras, lo cual debe efectuarse sin tener que prestar ninguna atención al sistema de protecciones pues to que éste debe diseñarse de tal manera que su transferencia sea realizada sin intervención de operadores. La protección de barras debe entonces seguir automáticamente la operación o maniobra y proveer constantemente una imagen verdadera del estado momentáneo del sistema de barras.

e. Facilidades de Modificación y Extensiones

. Las configuraciones de barras generalmente son modifi

cadas y extendidas varias veces en el curso de los a - ños, por esto, el diseño del sistema de protecciones debe ser flexible de tal manera que se adapte a cual - quier situación nueva que pueda presentarse.

f. Facilidades para Pruebas

Puesto que la operación de las protecciones de barras es relativamente rara, es deseable que su diseño provea facilidades para probarlo con el fin de asegurar al máximo posible su correcta operación.

En consideración a los requerimientos indicados, se han diseñado varios métodos de protección de barras que cumplen en mayor o menor grado los objetivos anota - dos, siendo los principios de funcionamiento los que se indican a continuación:

PRINCIPIOS DE FUNCIONAMIENTO DE UN SISTEMA DE PROTECCION DE BARRAS

Al ocurrir una avería, el sistema de protección de barras debe funcionar efectuando las operaciones siguientes:

- a. Decidir si la falla o avería está localizada dentro o fuera del sistema de barras.
- b. Seleccionar la barra afectada por la falla.

c. Interrumpir los alimentadores conectados a la barra a veriada.

Todas estas decisiones deben ser tomadas simultáneamente, si el esquema de barras lo permite.

El método de protección más empleado y que mejores características presenta dentro del marco establecido por las normas de funcionamiento ya indicadas es el de la protección diferencial que a continuación se indica.

3.3 PROTECCION DIFERENCIAL

Se basa en la comparación de las corrientes que entran y salen de un grupo o sistema eléctrico. El principio de funcionamiento se indica en la Figura 16.

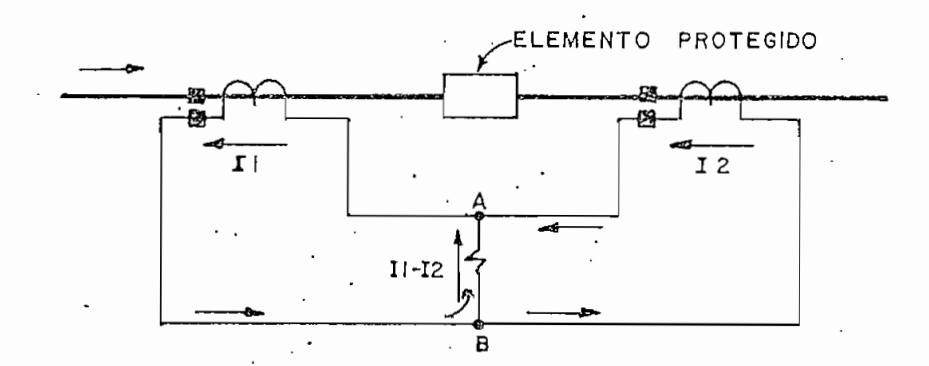


Fig. 16 PRINCIPIO DE FUNCIONAMIENTO DE LA PROTECCION DIFERENCIAL

Si I_I e I₂ son iguales, por la rama AB no circulará corriente. Si son diferentes, por AB circulará su diferencia que podrá energizar la bobina de operación de cualquier relé, or denando el accionamiento de disyuntores que separen al elemento falloso del sistema.

El empleo de los transformadores de corriente en los esque mas diferenciales de protección es una de las aplicaciones más críticas; por el gran número de circuitos involucrados y los diferentes niveles de energización encontrados en los varios circuitos.

En estos esquemas, el comportamiento del relé empleado es función de la exactitud de reproducción no solamente de la corriente de carga sinó también de toda corriente de falla.

Cabe indicar que la saturación de los transformadores de corriente en presencia de corriente contínua, es una condición muy severa puesto que puede ocurrir que una pequeña magnitud de corriente (de una falla asimétrica) sature el núcleo del transformador reduciendo apreciablemente la precisión en la transformación del valor de corriente al secundario, lo que determinaría la aparición de corrientes diferenciales grandes que pueden provocar una falsa operación del relé del esquema diferencial.

Este problema puede ser solucionado por varios métodos, así:

- a. Eliminando el hierro en los núcleos de los transformadores de corriente. Se emplea los llamados acopladores lineales.
- b. Uno del relé diferencial de porcentaje variable, diseña do para ser insensible a la saturación a corriente directa.
- c! Uso del relé diferencial de alta impedancia.

Una evaluación del método de protección diferencial más adecuado está fuera del alcance de este trabajo. Para cumplir
con los objetivos del mismo, se ha seleccionado el uso del
relé diferencial de alta impedancia, porque este permite des
cribir la aplicación de equipo auxiliar convencional:

3.4 CIRCUITO DIFERENCIAL DE ALTA IMPEDANCIA

Emplea un relé diferencial de alta impedancia que discrimina entre fallas externas e internas a la zona protegida en base al voltaje que mide.

Para este circuito, es necesario que la resistencia de los secundarios de los transformadores de corriente se mantenga baja para el caso de ocurrencia de una falla, lo cual li mita las aplicaciones solamente a los transformadores tipo bushing o de devanado distribuído.

A continuación se describe los casos en los que puede operar un circuito diferencial de alta impedancia. Se supone que se está protegiendo por este método una barra a la que llegan cuatro líneas: dos de alimentación y dos de carga.

a. Operación Normal

Aquí, la diferencia entre las corrientes primarias fluyen do para y de la barra es cero. Teóricamente, no hay una corriente diferencial fluyendo a través del relé, sin embargo, puede aparecer una de un valor pequeño, debido a la transmisión de errores de los transformadores de corriente, lo que permitirá el aparecimiento de un potencial sobre el relé, que es bastante bajo respecto del nivel de respuesta de éste.

b. Falla Externa

Para cualquier condición de operación de un sistema de barras, los secundarios de los transformadores de corriente de las diferentes salidas y el relé de alta impedancia resultan conectados en paralelo y en falla externa, pueden darse dos casos: que los transformadores de corriente de la línea fallada resulten saturados o no saturados.

En el caso de que los transformadores no resulten saturados, la diferencia entre las corrientes que salen

y entran a las barras es cero y de igual manera que en operación normal, la corriente diferencial que puede a-parecer será mínima. (Fig. 17)

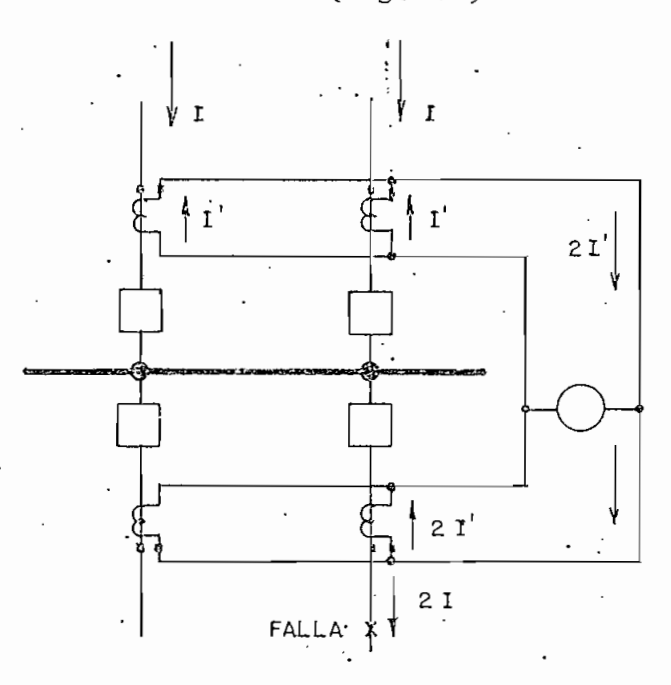


Fig. 17⁻ FALLA EXTERNA

Si los transformadores conectados a la línea fallada re sultan totalmente saturados, presentan como impedancia solamente la resistencia del cobre de sus bobinados se cundarios, por donde circula la corriente secundaria de los transformadores de los circuitos de alimentación, lo cual produce una caída de potencial que es menor que el nivel de respuesta del relé.

c. Falla Interna

Cuando ocurra un cortocircuito en la barra (Fig. 18), la corriente secundaria de los transformadores de los circuitos de alimentación queda limitada por la impedancia de los transformadores de los circuitos de carga y la del relé de sobrevoltaje. Como estas impedancias son altas, los transformadores de los circuitos de alimentación operan prácticamente como si estuvieran en circuito abierto y el voltaje que aparece en bornes del relé es mucho mayor que para el caso de falla externa. La caída de potencial a la mínima corriente de cortocircuito debe estar sobre el nivel de respuesta y causará la operación del relé.

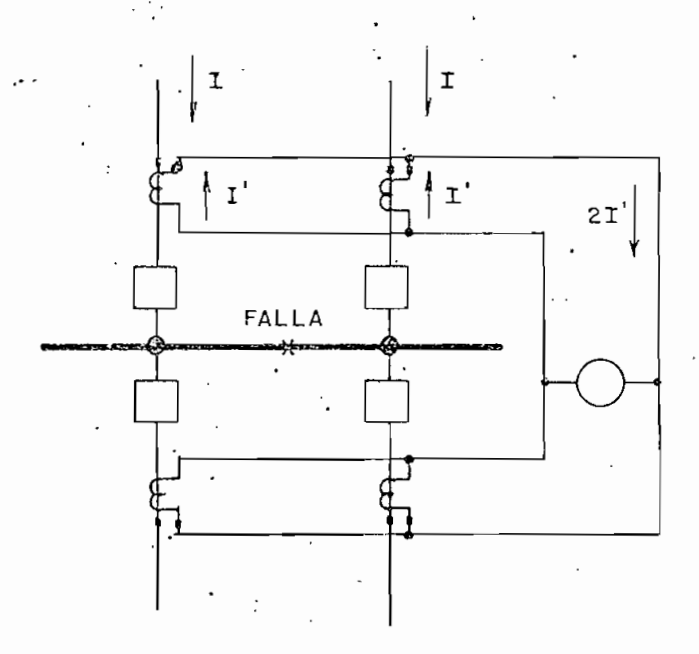


Fig. 18
FALLA INTERNA

Por lo general, el relé de alta impedancia tiene conectado en paralelo un elemento resistivo no lineal con el objeto de protegerlo en caso de corrientes altas de falla.

El funcionamiento de un circuito diferencial de alta impedancia puede utilizarse para varios tipos de esquemas de barras, formando parte de un sistema de protección que debe cumplir en lo posible y de acuerdo al esque ma de barras tratado, con los principios de funciona miento que ya han sido enunciados.

A continuación se desarrolla someramente los sistemas de protección para algunos esquemas de barras, basados en el empleo del relé de alta impedancia, suponiéndose que al esquema en estudio están llegando dos líneas de alimentación y que salen dos líneas de carga.

3.5 ESQUEMA DE PROTECCION PARA BARRA SIMPLE

En este caso, el sistema de protección decide si la falla es tá dentro o fuera de la barra. Si la avería es interna, o-peran los disyuntores de todos los alimentadores.

Los transformadores de corriente empleados son los de tipo bushing por la razón indicada anteriormente y su ubicación se muestra en la Figura 19.

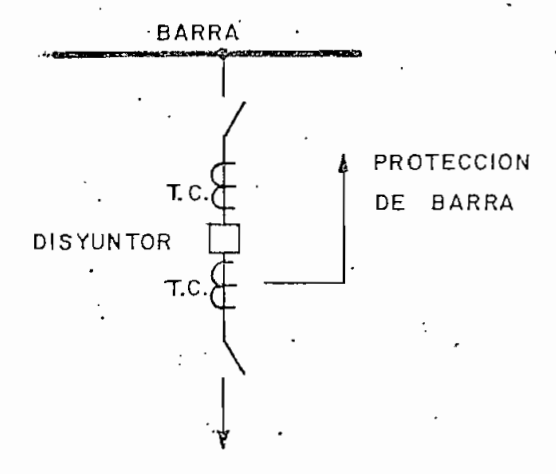


Fig. 19
UBICACION DE TRANSFORMADORES DE CORRIENTE

En este esquema se requiere, a más del relé de alta impedancia, de un relé de bloqueo cuya función es la de comandar el disparo de los disyuntores y cortocircuitar los bornes del relé de alta impedancia.

Las conexiones al circuito de potencia y al circuito de corriente contínua se indican en forma esquemática en las $F_{\underline{i}}$ -guras 20 y 21.

Cabe indicar que para el caso de funcionamiento del sistema de protección, por avería interna, se debe preveer un circuito de control que bloquee cualquier reconexión que los circuitos de apertura y cierre de disyuntores puedan ser capaces de realizar.

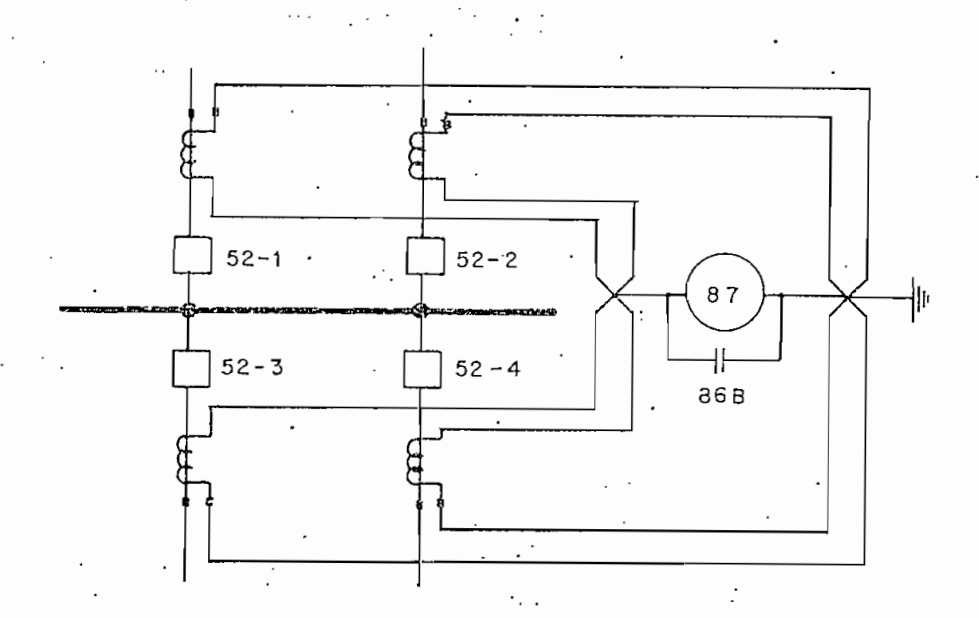


Fig. 20
DIAGRAMA ESQUEMATICO UNIFILAR DE CONEXIONES AL
SISTEMA DE POTENCIA, ESQUEMA DE BARRA SIMPLE

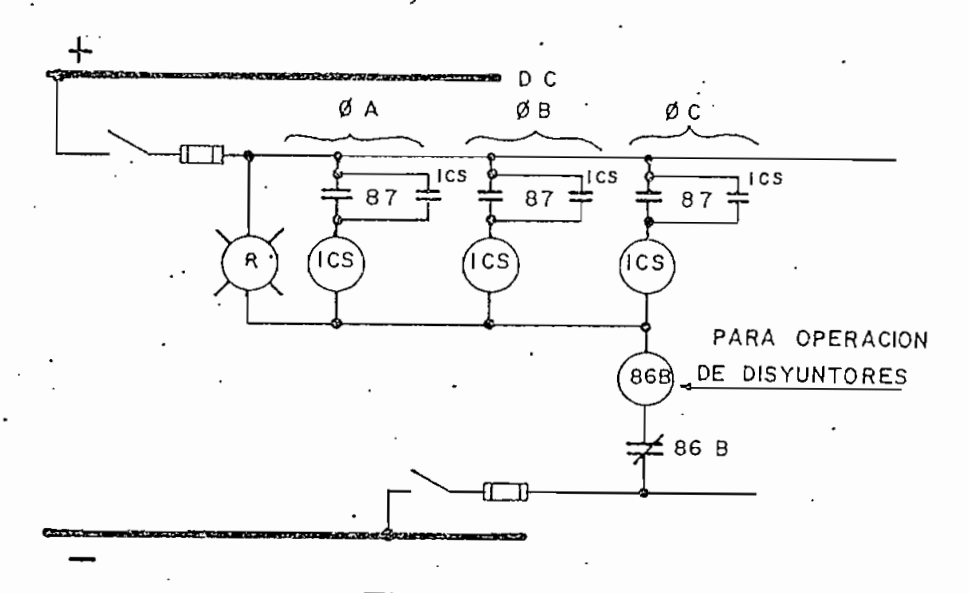


Fig. 21

DIAGRAMA ELEMENTAL DE CORRIENTE CONTINUA PARA PROTECCION DEL ESQUEMA DE BARRA SIMPLE

3.6 ESQUEMA DE PROTECCION PARA BARRA PRINCIPAL Y TRANSFERENCIA

Si una avería ha ocurrido, el sistema de protección operará en dos posibles estados del esquema de barras.

- Estado normal.
- Mantenimiento de una posición de interrupción.

En estado normal de funcionamiento, al igual que en el caso de barra simple, al ocurrir una avería, el sistema de protección decide si esta es externa o interna y en este úl timo caso operan los disyuntores de todos los alimentado res.

Si una posición de interrupción está en mantenimiento, la posición de transferencia la reemplaza, y si ocurre una a vería interna el sistema de protección actúa como en el ca so del estado normal, operando los disyuntores de todos los alimentadores.

Las conexiones al sistema de potencia se indican en forma esquemática en la Figura 22, anotándose que para este esquema de barras, las conexiones al circuito de corriente contínua son similares a las del esquema de barra simple mostradas en la Figura 21.

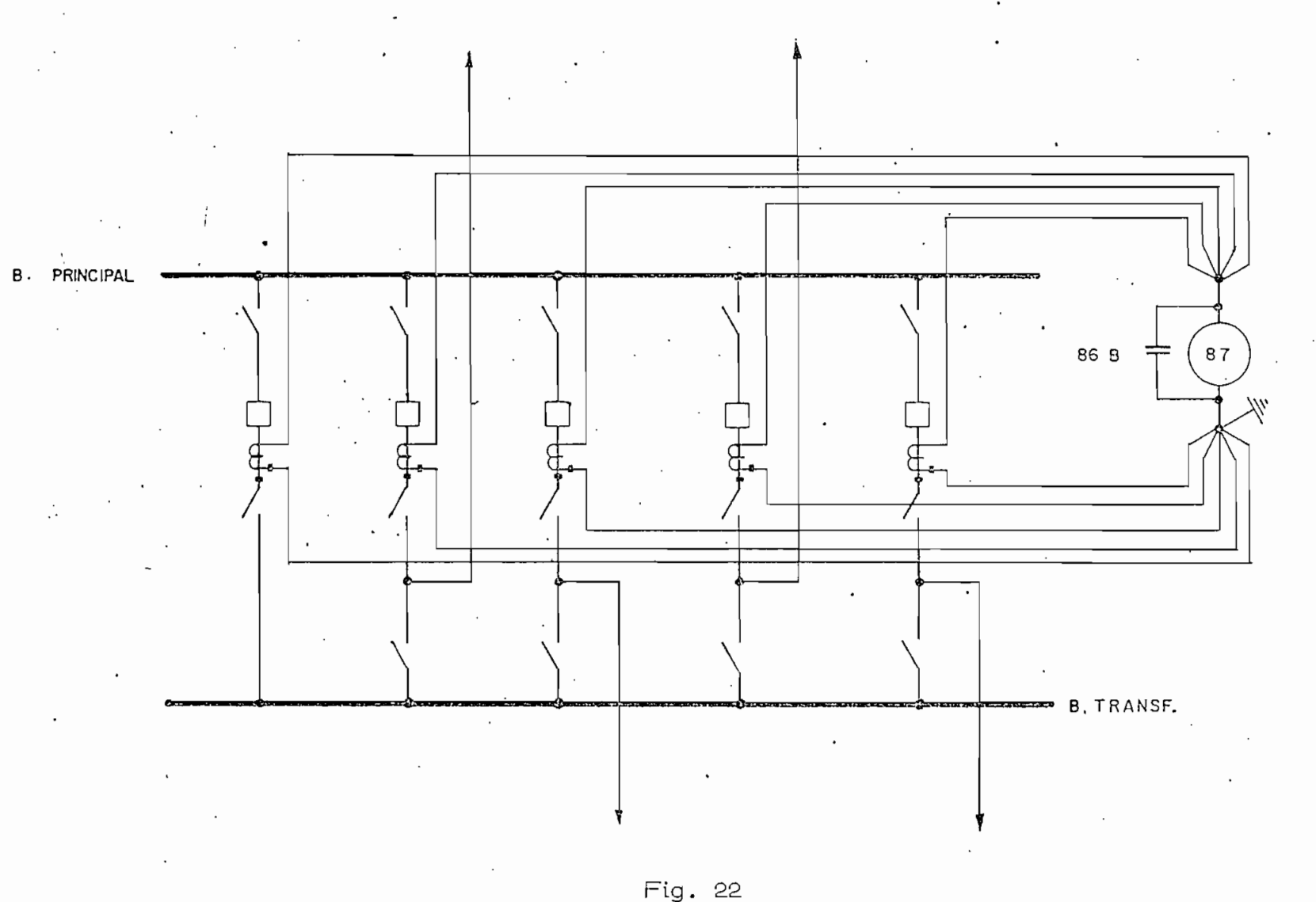


DIAGRAMA ESQUEMATICO UNIFILAR DE CONEXIONES AL SISTEMA DE POTENCIA DEL EQUEMA DE BARRA PRINCIPAL Y TRANSFERENCIA

También en este caso se debe prever para el circuito de disparo de disyuntores, un circuito que bloquee el recierre de estos al operar el sistema de protección de barras.

3.7 ESQUEMA DE PROTECCION PARA DOBLE BARRA CON UN SOLO DISYUNTOR Y "BY PASS"

Este esquema puede encontrarse en tres estados de funcionamiento:

- Estado normal.
- Mantenimiento de una posición de interrupción.
- Mantenimiento de una barra.

El método de protección que para este esquema puede emplearse considera los estados de funcionamiento descritos
y cumple en grado aceptable con los principios de funciona
miento indicados en el numeral 3.2, de la siguiente manera:

a. Estado Normal

En este caso, el sistema de protección decide si la falla es interna o externa, mediante el relé diferencial de alta impedancia. Los relés direccionales de fase y de tierra empleados a uno y otro lado del disyuntor de acople (Figura 23) discriminan si la falla es en una u otra barra y ordenan la operación de todos los disyuntores.

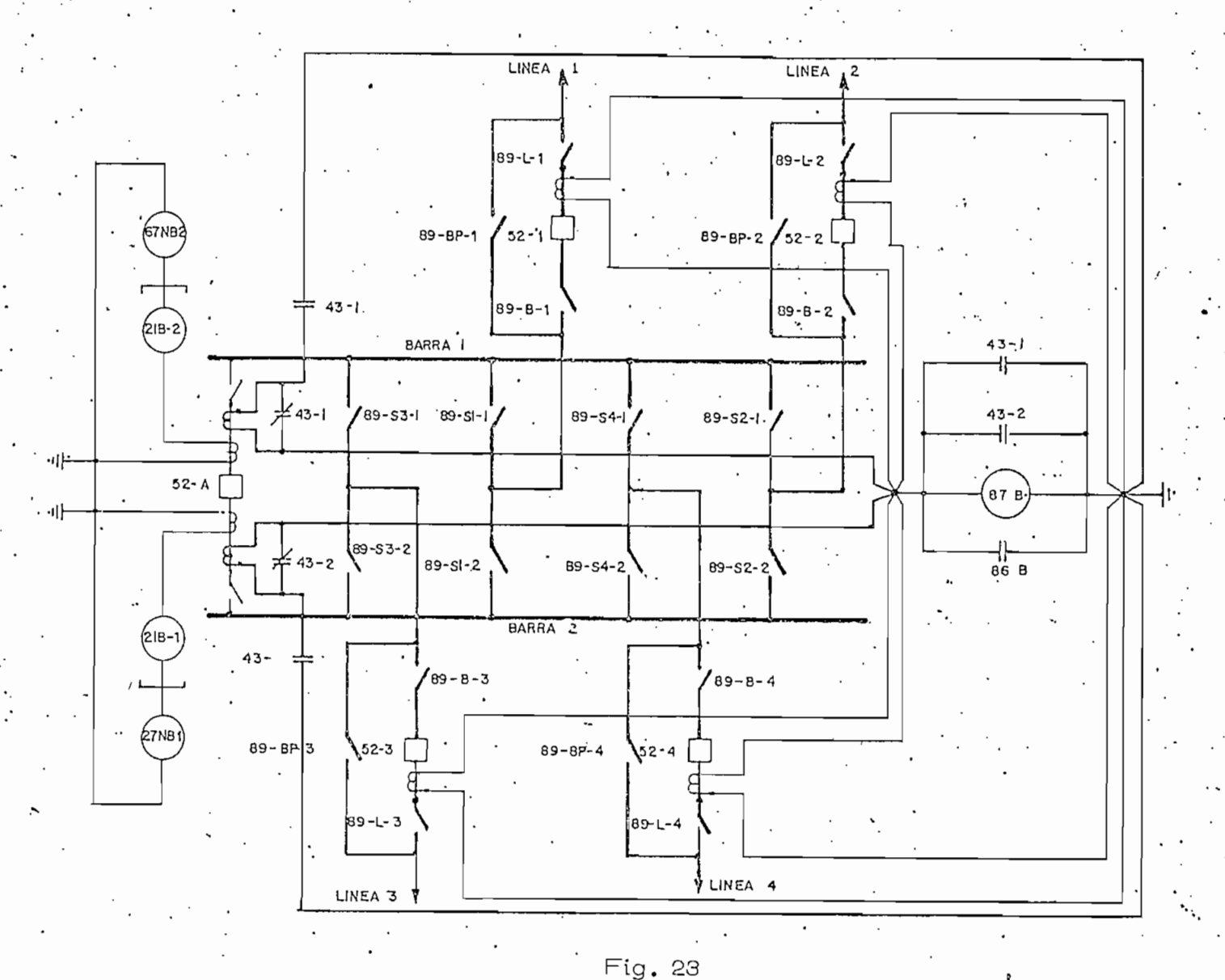


DIAGRAMA ESQUEMATICO UNIFILAR DE CONEXIONES AL SISTEMA DE PROTECCION DEL ESQUEMA DE DOBLE BARRA CON UN SOLO DISYUNTOR Y BY PASS

La selección de los disyuntores conectados a la barra fallada se realiza empleando contactos auxiliares de los seccionadores selectores de barra en serie con la bobina de disparo de cada disyuntor (Figuras 24 y 25).

b. Mantenimiento de una Posición de Interrupción

La ubicación de los transformadores de corriente dentro o fuera del "by pass" tiene gran importancia para el caso de efectuar mantenimiento de una posición de interrupción. Si los transformadores se ubican fuera, el esquema de protección no varía y opera en idéntica forma que en el caso de estado normal del esquema de barras.

Si los transformadores de corriente se ubican dentro del "by pass", al efectuar mantenimiento de una posición de interrupción, los respectivos transformadores de corriente saldrían del circuito diferencial de alta impedancia, ocasionando el funcionamiento del relé diferencial por la presencia de una corriente diferencial falsa. En este caso, se presenta como solución, el empleo de llaves manuales (43) y de un adecuado modo de operación del esquema de barras, por la necesidad de reemplazar el disyuntor en mantenimiento por el de acople de barras.

En el caso descrito, es necesario que antes de sacar

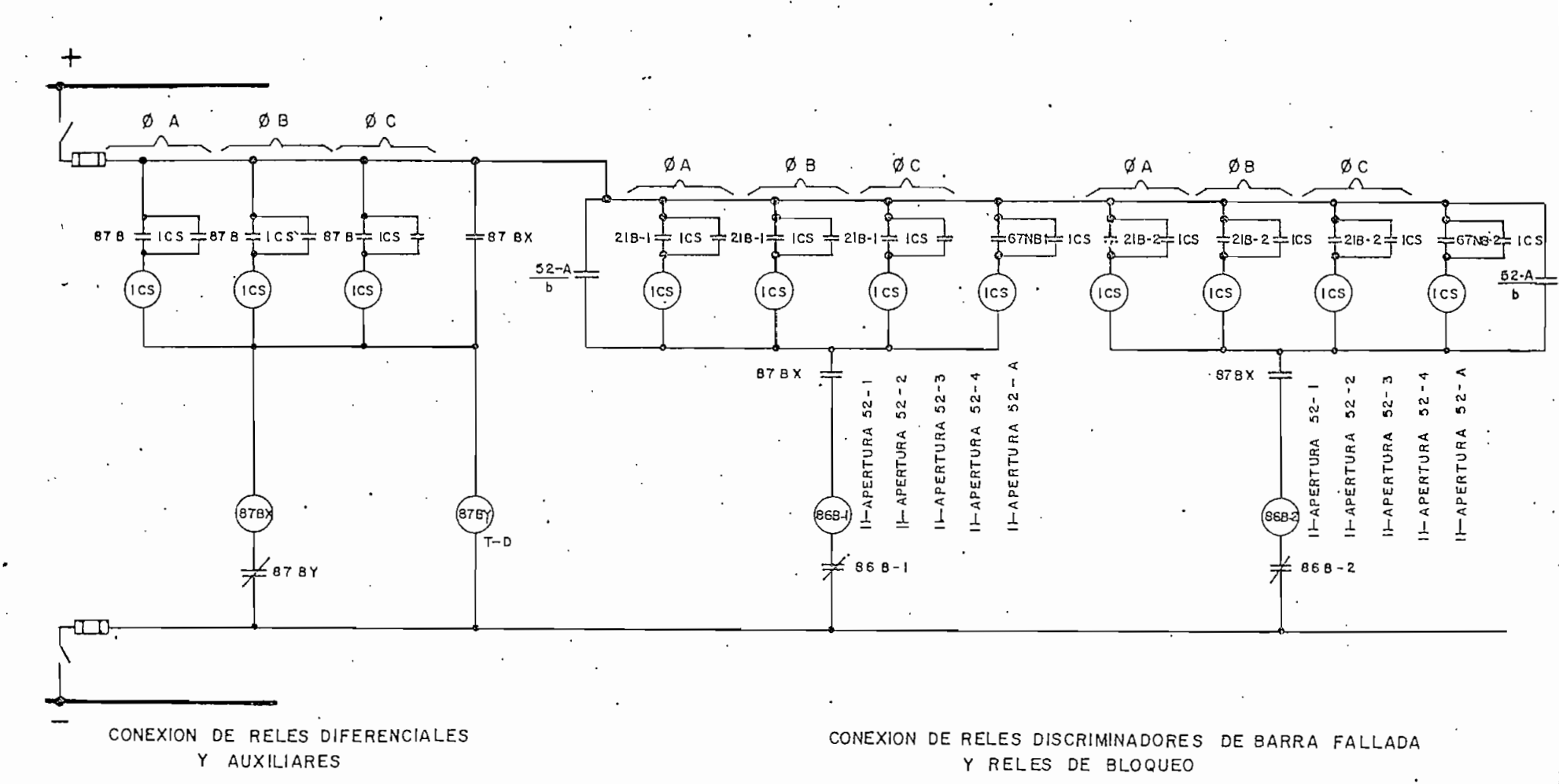


Fig. 24

DIAGRAMA ELEMENTAL DE CORRIENTE CONTINUA DEL SISTEMA DE PROTECCION

PARA DOBLE BARRA CON UN SOLO DISYUNTOR Y "BY PASS"

Fig. 25
CONEXION DE BOBINAS PARA OPERACION DE DISYUNITORES

la posición elegida para efectuar mantenimiento, todas las demás posiciones de interrupción sean conectadas a una sola barra, quedando la otra, a funcionar como barra de transferencia con la posición a mantenerse con nectada a ella. Con esto se logra reemplazar la posición en mantenimiento, por la posición de interrupción de acoplamiento de barras.

Una vez realizada la operación anterior se debe manipular la llave manual (43) correspondiente, según la barra que se utilice como de transferencia, suspendiéndose en este momento la operación del relé diferencial hasta sa car completamente la posición que va a mantenerse, un na vez realizada esta operación se vuelve a introducir la protección incluyendo los transformadores de corriente correspondientes, ubicados a un lado y otro de la posición de acoplamiento, completando la operación de la llave manual (43).

La secuencia de accionamiento para este esquema de barras y su protección en este caso puede resumirse así:

- Conectar todos los alimentadores, a excepción del que va a mantenerse, a una sola barra.
- Operar la llave 43 hasta su posición intermedia.
- Separar la posición de interrupción completa.
- Completar la operación de la llave manual (43).

Los contactos de las llaves 43 se indican en la Figura 26.

| | , | | • | | Ŧ | • |
|-------|--------------|---------|----------|---------|------|---|
| CON- | | POSIC | lои | | | |
| тасто | NORMAL | DESCON. | INTERMED | TRANSF. | | |
| l | × | × | | | ø a | CORTOCIRCUITO DE T.C. UBICA |
| 2 | · × | ·× | | | Ø B | DOS EN LA POSICION DE INT |
| 3 | . × | × | | | ø c | , |
| 4 | | | × | × | Ø A) | INTRODUCCION DE T.C. DE L |
| 5 | - | | × | × | øв | POSICION DE ACOPLAMIENTO EL CIRCUITO DIFERENCIAL |
| 6 | - | | × | × | øc] | |
| 7 | · | | × | | Ø A | CORTOCIRCUITO DEL |
| 8 . | | | × | | øв | RELE DIFERENCIAL |
| 9 | | | . × | | ø c | |
| 10 | | . • | | | | |
| H | | | | | | |
| 12 | | | | - | | |

X CONTACTO CERRADO

Fig. 26 ' CONTACTOS DE LA LLAVE MANUAL 43

c. Mantenimiento de una Barra

Para esta situación conviene emplear contactos auxiliares tipo "b" del disyuntor de acople que sacan del circuito de corriente contínua los contactos de los relés discriminadores de barra fallada (21B-1, 21B-2, 67NB-1, 67NB-2) y permiten la operación de todos los disyuntores conectados a la barra en funcionamiento, al ser detectada una falla interna por el relé diferencial de alta impedancia. La conexión de los contactos auxiliares del disyuntor se indica en la Figura 24 y la secuencia de accionamiento u operación para este caso es la siguiente:

- Conectar todas las posiciones de interrupción de los alimentadores a la barra que va a quedar en operación.
- Abrir posición de interrupción de acoplamiento.

4. EVALUACION DE LOS ESQUEMAS DE PROTECCION

La complejidad de los esquemas de protección aumenta con forme se complican los esquemas de barras. Sin embargo, puede decirse que conociendo un medio de protección para un esquema simple puede, mediante algunos refinamientos, aplicarse a un esquema más complejo.

Del estudio de la aplicación de relés diferenciales de alta

impedancia puede verse que aquella realizada en el esquema de doble barra con un solo disyuntor y "by pass" es la que mayores refinamientos y complicaciones para operación requiere, ganándose sin embargo todas las características convenientes que presenta este esquema de barras.

El costo de un esquema de protección en cuanto a relés y paneles que para ellos se necesita, es insignificante frente al costo de equipamiento de una subestación, razón por la cual, no se debe escatimar ningún componente que mejore el sistema de protección.

Conviene también, tomar en cuenta que se debe tratar de evitar el diseño de una protección muy sofisticada que si bien puede efectivizar su operación, puede complicar el funcionamiento del esquema de barras.

CAPITULO III

APLICACION A LA SUBESTACION MILAGRO

1. CARACTERISTICAS DE LA SUBESTACION

La Subestación Milagro será un importante eslabón en el Sistema Nacional Interconectado y recibirá energía de la Subestación Paute mediante un doble circuito a 230 Kv. Su función será la de reducir la tensión a los niveles de 138 y 69 Kv. para servir a las Provincias de Guayas, Los Ríos y El Oro. Milagro actuará también como subestación seccionadora entre las Subestaciones Paute y Pascuales y su ubicación se indica en la Figura 27.

1.1 PROGRAMA DE INSTALACION DE EQUIPO

Milagro funcionará a su potencia nominal alrededor del año 1990 (180 MVA) y se tiene previsto un programa de instalación de equipo que toma como referencia los años 1982 y 1988 (Ref: E1) así:

1982 – Instalación

- 4 líneas a 230 Kv.
- 2 líneas a 138 Kv.
- 2 líneas à 69 Kv.
- 1 banco de 3 autotransformadores monofásicos más uno



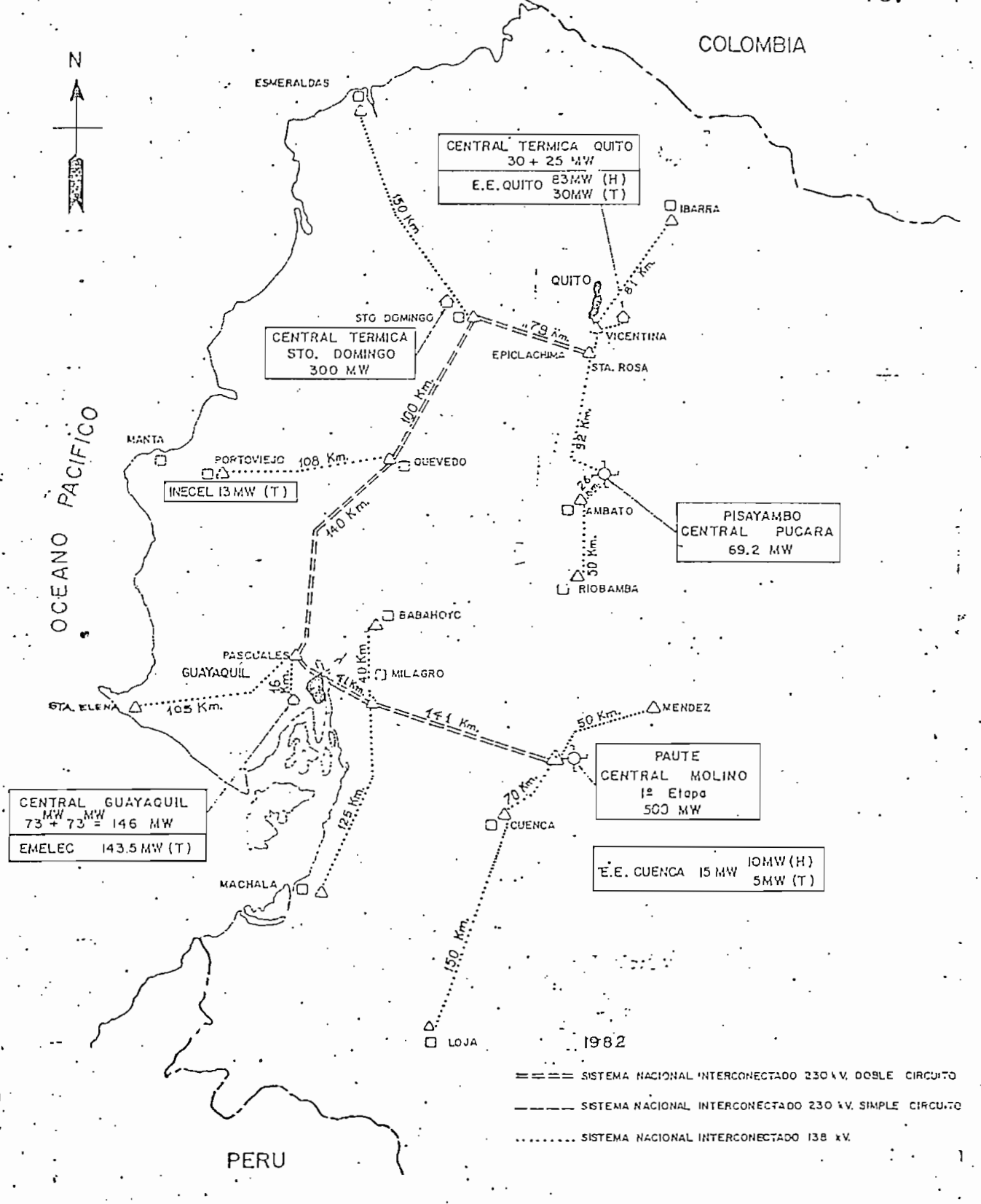


Fig. 27
UBICACION DE LA SUBESTACION
MILAGRO

de reserva de relación 230-138-13.8 Kv.; 30/40/50 MVA (OA/FA/FOA).

- 1 transformador trifásico de relación 138-69 Kv. 40/53.3/66.7 MVA (OA/FA/FOA)

1988 - Instalación de:

- 1 línea a 138 Kv.
- 2 líneas a 69 Kv.
- 1 banco de 3 autotransformadores monofásicos de relación 230-138-13.8 Kv.; 30/40/50 MVA (OA/FA/FOA).
- 1 autotransformador trifásico de relación 138-69 Kv.; 40/53.3/66.7 MVA (OA/FA/FOA).

La Figura 28 muestra el equipamiento en forma cronológica.

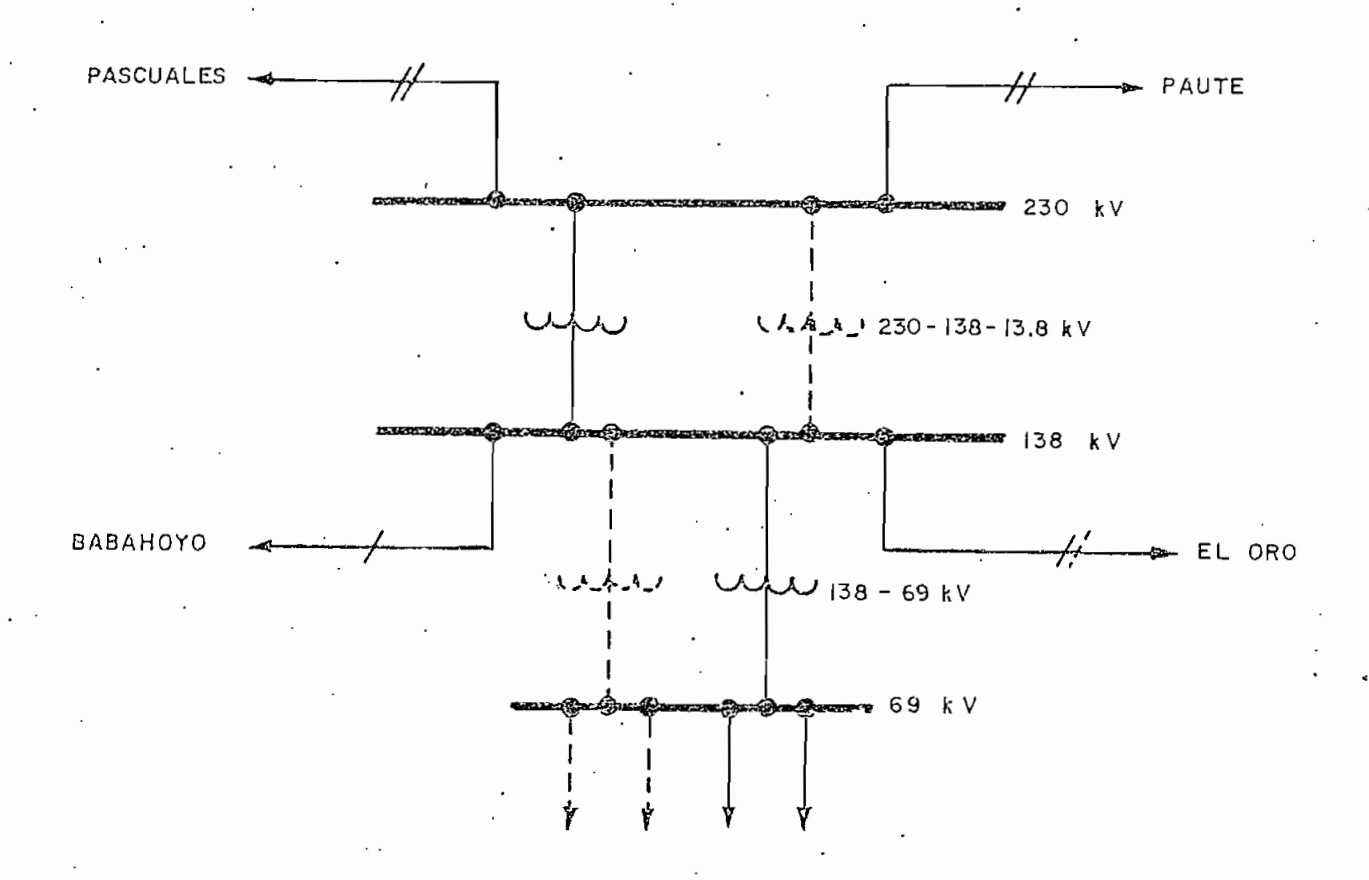
1.2 CORRIENTES MAXIMAS EN POSICIONES DE INTERRUP CION

En base a los estudios de flujo de carga máxima entre los años 1982 y 1990 (Ref: E2), y con las siguientes considera ciones para las diferentes posiciones de interrupción:

a. Posición de Interrupción de Línea a Doble Circuito

Operando en dos situaciones:

- Condición normal: cada circuito porta su respectiva corriente.



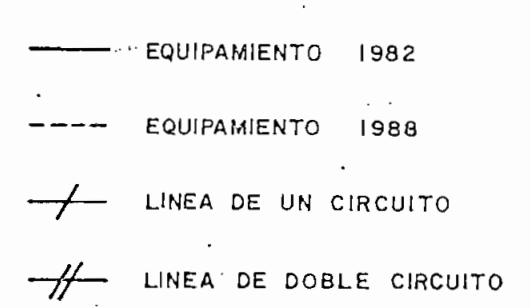


Fig. 28
EQUIPAMIENTO DE LA S/E MILAGRO

- Emergencia: un circuito ha salido del sistema y su corriente es conducida por el circuito restante.

b. Posición de Interrupción de Línea de un Solo Circuito

Que operará solo para estado normal; y,

c. Posición de Interrupción para Autotransformador

Para la cual se tomará como corriente normal la del régimen FA y como corriente de emergencia la del régimen FOA, se obtuvieron los valores de corrientes mostrados en las Tablas Nos. 9 y 10 indicándose también el año en que tales corrientes tendrán sus máximos valores.

TABLA No. 9

CORRIENTES MAXIMAS PARA POSICIONES DE

INTERRUPCION DEL SECTOR DE 230 KV.

| | | | • |
|--------------------|------|-----------|------------|
| | | Corriente | Corriente |
| Posición | Año | . normal | Emergencia |
| | | (A) | (A) |
| | , | | |
| L/T Paute-Milagro. | 1983 | 564 | 1.128 |
| L/T Milagro-Pas - | | · | |
| cuales. | 1983 | 468 | 936 |
| Autotransformador | - | | |
| 230-138 Kv. | · | 301 | 377 |

TABLA Nº 10 ...

CORRIENTES MAXIMAS PARA POSICIONES DE INTERRUPCION DEL SECTOR DE 138 KV.

| Posición | Año . | Corriente normal (A) | Corriente Emergencia (A) |
|--------------------------|-------|----------------------------|--------------------------------|
| L/T Milagro-El Oro | 1990 | 161 | 322 |
| L/T Milagro-Babaho | | | |
| yo. Autotransformador | 1990 | 150 | |
| 230–138 Kv. | | 502 | 630 |
| Autotransformador | | | · |
| 138-69 Kv. | | 223 · · | 279 |

1.3 CORRIENTES DE CORTOCIRCUITO

Los valores de corriente encontrados en base a los estudios de cortocircuitos realizados para el Sistema Nacional Interconectado para fallas trifásicas y monofásicas a tierra se presentan en las Tablas Nos. 11 y 12 y para los años 1983 y 1990.

Los valores de corrientes de cortocircuito para el año 1983 se emplearán para el cálculo de ajustes de relés diferenciales, mientras que los indicados para 1990 servirán como base para la selección del aislamiento del equipo necesa - rio.

TABLA Nº 11

CORRIENTES DE CORTOCIRCUITO AÑO 1983

| | Valor (A) | | |
|---|-------------------|-------------------|--|
| Naturaleza de la corriente | Sector 230 Kv. | Sector 138 Kv. | |
| Cortocircuito trifásico inte <u>r</u> no (valor mínimo) | 1,425 | 1,990 | |
| Cortocircuito monofásico a tierra interno (valor mínimo) | 2,045 | 2,710 | |
| Cortocircuito trifásico exte <u>r</u> no (máximo) . | 2,854 | 4,740 | |
| Cortocircuito monofásico a tierra externo (máximo) | 5,787 | 4 , 584 | |

TABLA Nº 12

CORRIENTES DE CORTOCIRCUITO AÑO 1990

| Naturalawa da la compionto | Valor (A) | | |
|---|-------------------|-------------------|--|
| Naturaleza de la corriente | Sector 230 Kv. | Sector 138 Kv. | |
| Cortocircuito trifásico interno (valor máximo) | 7,766 | 9,843 | |
| Cortocircuito monofásico a tierra interno (valor máximo) | 9,551 | 12 , 797 | |

2. SELECCION DE LOS ESQUEMAS DE BARRAS

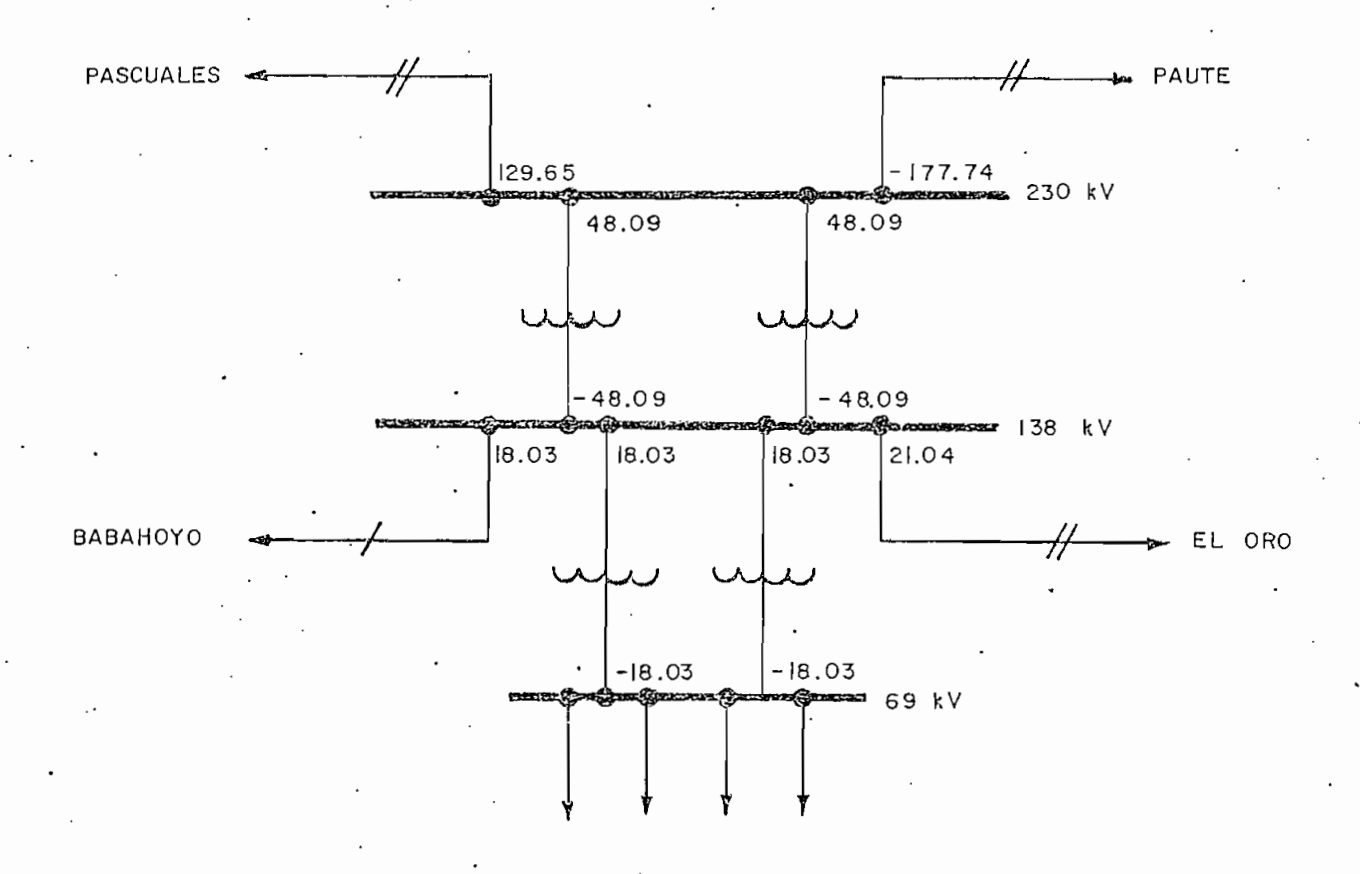
2.1 · GENERALIDADES

La selección de los esquemas de barras se realizará inde pendientemente para los sectores de 230 Kv. y de 138 Kv., para luego vincular los esquemas más económicos en cada caso y elegir de esta manera la alternativa más conveniente.

La evaluación económica del equipo considerado para esta subestación se realizará tomando en cuenta el programa de equipamiento y llevando a valor presente al año base 1982.

La evaluación de pérdidas por interrupciones de servicio se rá realizada para el año 1990 asumiéndose que dicho cargo anual es el que se tendrá para cualquier año dentro de la vida (itil de la subestación.

Para la evaluación de la continuidad y calidad de suminis - tro de potencia y energía de los sectores de 230 y 138 Kv., se requieren como datos las potencias que manejan las diferentes posiciones de interrupción, las que se muestran en la Figura 29 (Ref. E2). De la misma figura cabe destacar que por término medio, todo el sector de 230 Kv. tendrá una potencia de 355 Mw., valor que se considerará como la potencia total de la subestación, mientras que el sector de 138 Kv. tendrá una potencia de 96 Mw.



- LOS NUMEROS SIN UNIDAD INDICAN POTENCIAS (MW) POR CIRCUITO.
- 2. LAS POTENCIAS CON SIGNO + SON LAS QUE SA-LEN DE LA BARRA Y LAS QUE TIENEN SIGNO-SON LAS QUE ENTRAN A LA MISMA.

Fig. 29
POTENCIAS EN POSICIONES DE INTERRUPCION

2.2 SELECCION DEL ESQUEMA DE BARRAS PARA EL SECTOR
DE 230 KV.

Se han considerado las siguientes alternativas:

- Alternativa A2: Barra simple.

- Alternativa B2: Barra principal y transferencia.

Alternativa C2: Doble barra con un solo disyuntor y
 "by pass".

2.2.1 Evaluación de la Continuidad y Calidad de Suministro de Potencia y Energía

Con los datos señalados y por el uso de las Tablas Nos. 2 y 3 (Capítulo I), y para las alternativas anotadas, se obtienen los valores indicados en las Tablas Nos. 13, 14 y 15.

TABLA No. 13

ALTERNATIVA A2: BARRA SIMPLE

(Ref: Fig. 30)

| TIPO DE AVERIA | | NUMERO | ANUAL DE | TIEMPO TOTAL DE INTERRUPCION | | |
|----------------|-------|------------|-----------------|---------------------------------|--------------------|--|
| | | DENOMINAC. | VALOR (AVERIAS) | DENC,MINAC. | VALOR (HORAS INT.) | |
| EN LA BARRA | | . G1. | 0.02 | H1 | 2.4 | |
| EN POSICION DE | GRAVE | . ·G31 | 0.12; | H31 | 13.751 | |
| INTER RUPCION | LEVE | G32 | 0.30. | H32. | 2.29 | |
| · TOTAL | | G3T | . 0.42 | нзт | 16.25 | |
| ·· TOTAL | | KT | 0.44 | HT | 18.651 | |

TABLA No. 14

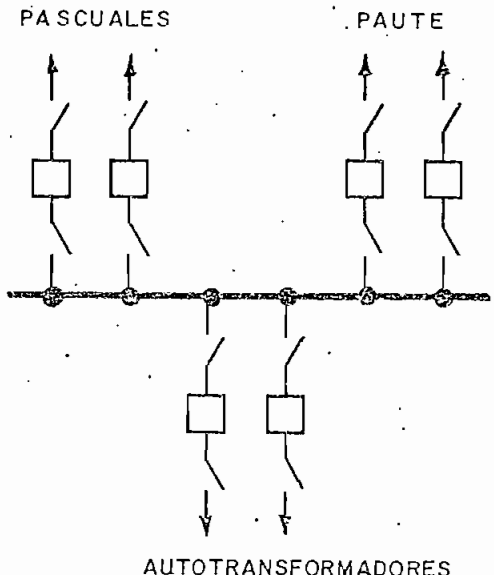
ALTERNATIVA B2: BARRA PRINCIPAL Y TRANSFERENCIA (Ref: Fig. 31)

| TIPO DE AVERIA | • | ANUAL DE AVERIAS | TIEMPO TOȚAL DE INTERRUPCION | | | | |
|-----------------------------|--------------|----------------------|---------------------------------|--------------------|--|--|--|
| THO BE AVENTA | DENOMINAC. | VALOR (AVERIAS AÑO) | DENOMINAC. | VALOR (HORAS INT.) | | | |
| . EN LA BARRA PRINC. | G1 | 0.02 | H1 | 2.4 | | | |
| EN BARRA DE | G2 | 0.00066 | H2 | . 0.0317 | | | |
| TRANSFERENCIA | G ' 2 | 0.0001 | H¹2 | 0.0118 | | | |
| | G2T | 0.0008 | H2T | 0.0435 | | | |
| EN POSICION DE INTERRUPCION | . G3 | 0.42 | Н3 | 0.21 | | | |
| SIMULTANEA EN | ·: G4 | 0.0120 | H4 | 0.1893 | | | |
| POSICIONES DE | G 1 4 | 0.001 | H'4 | 0.1151 | | | |
| INTERRUPCION | G4T | 0:013 | H4T. | 0.3044 | | | |
| SIMULTANEA EN BARRAS | G5 | o . | H5 | 0 | | | |
| TOTAL | KT : | 0.4538 | · HT | 2.9579 | | | |

TABLA No. 15

ALTERNATIVA C2: DOBLE BARRA CON UN SOLO DISYUNTOR Y "BY PASS" (Ref: Fig. 32)

| TIPO DE AVERIA | . NUMERO | ANUAL DE AVERIAS | TIEMPO TOTAL DE INTERRUPCION | | | | |
|--------------------------------|---------------------------------|----------------------|---------------------------------|--------------------|--|--|--|
| THE SE ATEMA | DENOMINAC. VALOR (AVERIAS AÑO.) | | DENOMINAC. | VALOR (HORAS INT.) | | | |
| EN LA BARRA PRINC. | G1 | 0.02 | H1 | 0.01 | | | |
| EN BARRA DE | G2 | 0.700 e e | H2 | 0.0317 | | | |
| TRANSFERENCIA | . G,5 . | 0.0001 | H'2 | 0.0118 | | | |
| | . G2T | 0.00076 | H2T | 0.0435 | | | |
| EN POSICION DE INTERRUPCION | . G3 0.42 | | НЗ | 0.21 | | | |
| SIMULTANEA EN | . · G4 | 0.0120 | .H4 | 0.1893 | | | |
| POSICIONES DE | G'4. | 0.001 | H'4 | 0.1151 | | | |
| INTERRUPCION | G4T | 0.0130 | H4T | 0.3044 | | | |
| . SIMULTANEA EN BARRAS | G5 0.0006 | | H5 | 0.072 | | | |
| TOTAL . | KT | 0.4544 | HT | 0.6399 | | | |



AUTOTRANSFORMADORES 230-138-13.8 kV

Fig. 30

ALTERNATIVA A2: BARRA SIMPLE

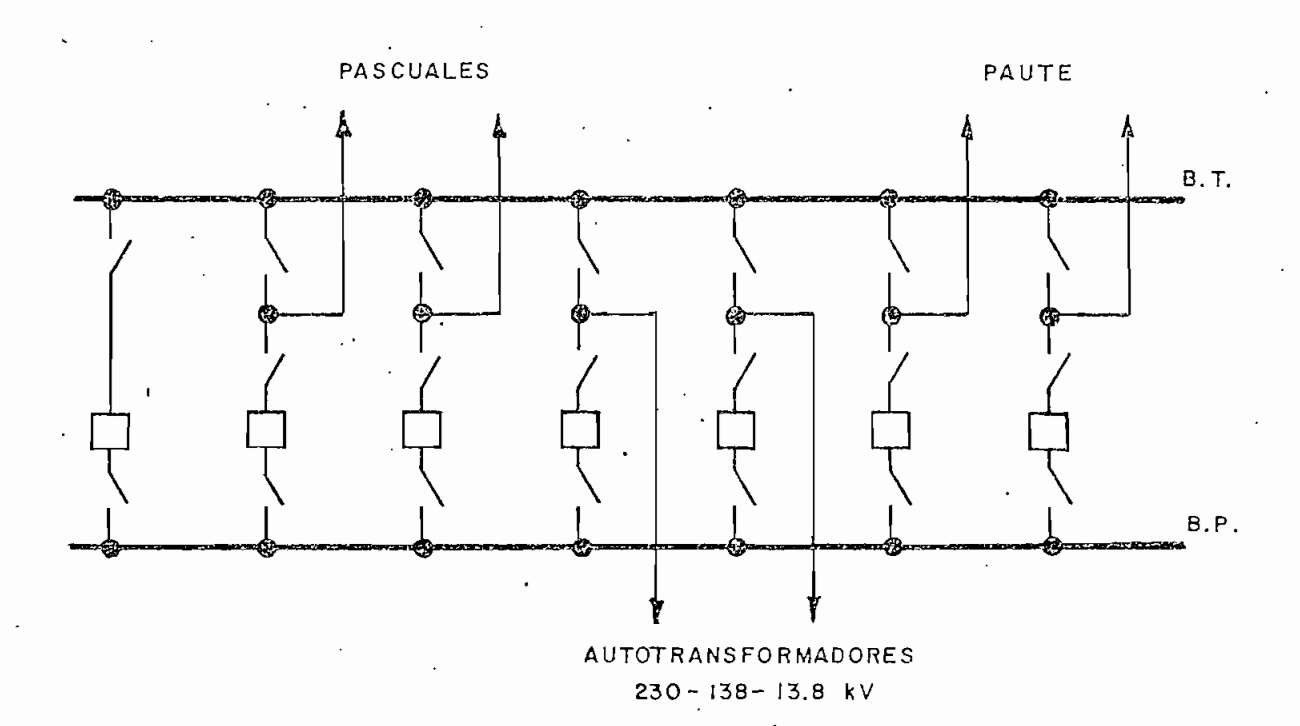
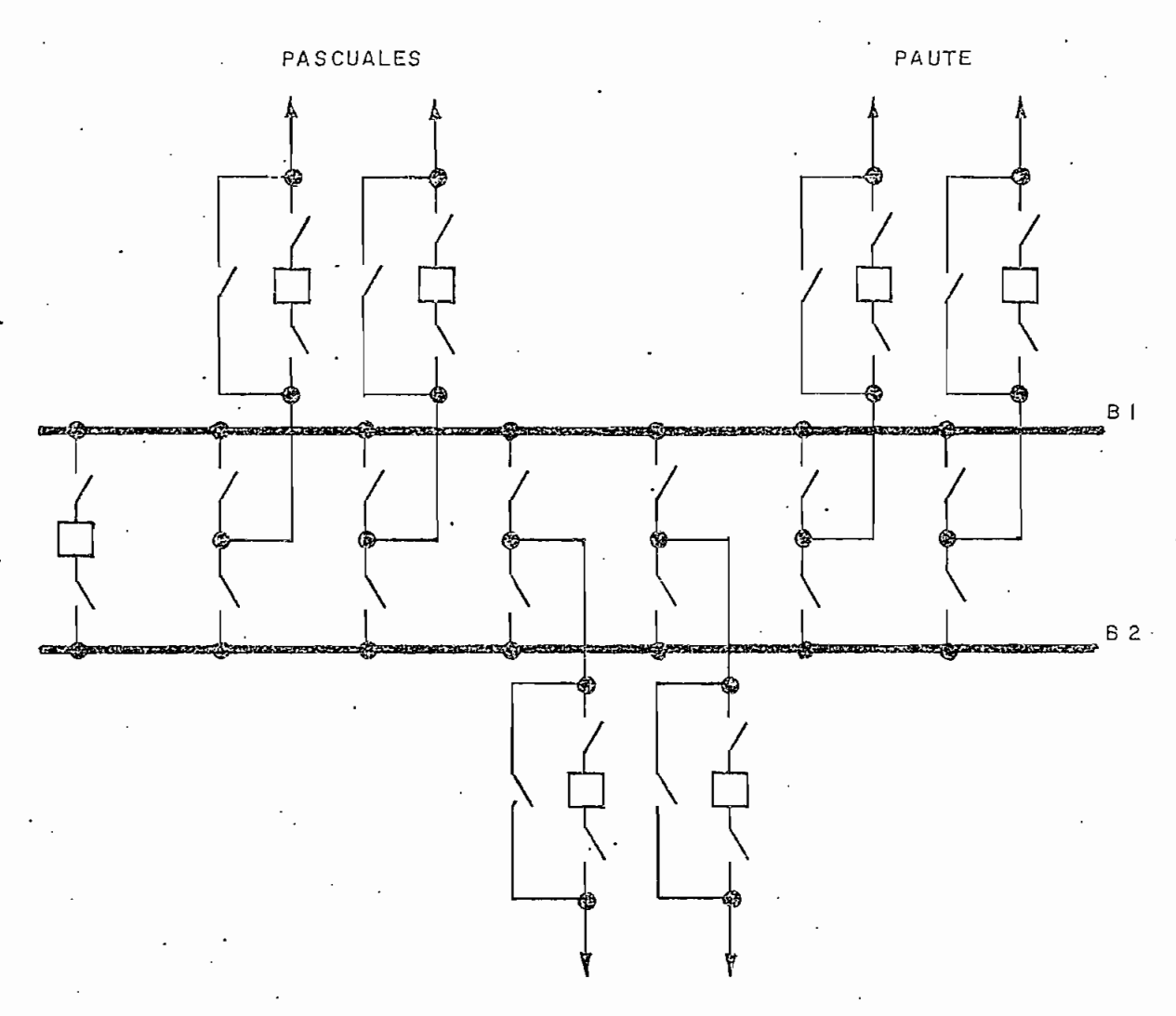


Fig. 31 ALTERNATIVA B2: BARRA PRINCIPAL Y TRANSFERENCIA



AUTOTRANSFORMADORES 230 - 138 - 13.8 kV

Fig. 32

ALTERNATIVA C2: DOBLE BARRA CON UN SOLO DISYUNTOR Y
"BY PASS"

2.2.2 Evaluación del Costo Anual por Interrupciones de Servicio

Con los siguientes costos por potencia y energía interrumpidas (Ref: A1):

Cp = US\$ 200/Kw.

 \cdot Ce = US\$ 100/Kwh.

Los valores obtenidos en 2.2.1 y en base a la tarifa binomia (F-2).

 $Cai = K \times C \times P + H \times C \times P$

se obtienen los siguientes resultados:

TABLA No. 16
COSTO ANUAL POR INTERRUPCIONES DE SERVICIO

| Alternativa | Cai (US\$) |
|-------------|----------------|
| A2 | . 693,350 |
| B2 | 137,225 |
| C2 · | 54,978 |

2.2.3 Evaluación del Costo Anual de Recuperación de Capital

Se toma en cuenta los precios de los siguientes equipos, \underline{a} notándose que se ha considerado un escalamiento anual del

orden del 5 %, así:

| Equipo | Precio US\$ 1982 | Precio US\$ 1988 |
|---------------------------------|---------------------|---------------------|
| Disyuntor · | 135,000 | 180,000 |
| Seccionador | 60,000 | 80,000 |
| Pararrayos | . 13,000 | 18,000 |
| Divisor capacitivo de potencial | 30,000 | 40,000 |

Para cada posición de interrupción, a excepción de la de transferencia (en el caso de que el esquema lo requiera), se ha considerado la utilización de tres pararrayos (uno por fase) y también el empleo de tres divisores capacitivos de potencial para cada posición de interrupción de línea y tres para medición y control de cada barra.

En cuanto al costo de estructuras, se ha tomado como base, el precio global de las empleadas en el esquema de doble barra con un solo disyuntor (Ref: C8), estimándose que para los demás esquemas, pueden considerarse acertados, a proximadamente los siguientes porcentajes:

- Barra simple

30.%

Barra principal y transferencia

100 %

Para el rubro por instalación del esquema y para efectos de

este estudio se ha considerado el 25 % del costo de estructuras.

Los resultados globales se presentan en las Tablas Nos. 17 y 18.

. Todas las inversiones programadas para el año 1988 han si do llevadas a un valor presente en 1982 considerando un interés del 12 % mediante el factor:

PWF = 0.5066

El costo total de cada alternativa en el año 1982 se presen ta en la Tabla N° 19.

TABLA Nº 19
COSTO TOTAL DE CADA ALTERNATIVA

| Alternativa | Inversión 1982 | Valor presente 1982 de inversión 1988 | Total |
|-------------|-------------------|--|-----------|
| A2 | 1 947,000 | 202 , 550 | 2'149,550 |
| B2 | 2'564,100 | 249,900 | 2'814,000 |
| C2 | 3'254,100 | 331,000 | 3'585,100 |

El costo anual de recuperación de capitales ha sido calcula do considerando que el equipo tiene una vida útil de 30 a - ños, y empleando un interés del 12 % mediante el factor:

TABLA Nº 17 SUBESTACION MILAGRO EQUIPAMIENTO 1982

| Descripción | Precio · | Alternativa A2 | | Alternativa B2 | | 'Alternativa C2 | |
|--|------------|----------------|------------------|----------------|-----------------|-----------------|------------------|
| del equipo | Unitario | Cantidad | Costo | Cantidad | Costo | Cantidad | Costo |
| Disyuntor | 135,000 | . 5 | 675 , 000 | 6 | 810,000 | 6 | 810,000 |
| Seccionador | 60,000 | 10 | 600,000 | .17 | 1'020,000 | 27 | 1'620,000 |
| Pararrayos | 13,000 | 15 | 195,000 | 15 | 195,000 | 15 | 195,000 |
| Divisor capac <u>i</u> tivo de poten- cial | 30,000 | 15 | 450,000 | 15 | 450,000 | 18 | 540 , 000 |
| Barras y misce láneos | | | 22,000 | | 72 , 600 | | 72,600 |
| Instalación | | | 5,000 | | 16 , 500 | | 16,500 |
| TOTAL: | | | 1'947,000 | | 2'564,100 | | 3'254,100 |

TABLA Nº 18 SUBESTACION MILAGRO EQUIPAMIENTO 1988

| | | • | | | | - | |
|--|---------|----------------|---------|----------------|---------|------------------|------------------|
| Descripción | Precio | Alternativa A2 | | Alternativa B2 | | . Alternativa C2 | |
| del equipo Unitario | | Cantidad | Costo | Cantidad | Costo | Cantidad | Costo |
| Disyuntor . | 180,000 | . 1 | 180,000 | 1 . | 180,000 | 1 | 180 , 000 |
| Seccionador . | 80,000 | 2 | 160,000 | 3 | 240,000 | 5 . | 400,000 |
| Pararrayos | 18,000 | 3 | 54,000 | 3 | 54,000 | 3 | 54,000 |
| Divisor capac <u>i</u> tivo de poten- cial | 40,000 | | | | <u></u> | | · |
| Barras y misce láneos | | | 4,600 | | 15,400 | | 15,400 |
| Instalación | | | 1,200 | | 3,900 | | 3,000 |
| TOTAL: | | | 399,800 | | 493,300 | | 653 , 300 |

CRF = 0.12414

De la siguiente manera:

TABLA Nº 20

| Alternativa | Costo anual de recuperación de capital (US\$) |
|-------------|---|
| A2 | 266,845 |
| B2 | 349,330 |
| . · C2 | 445,055 |

2.2.4 Costo Anual Total

Se presenta a continuación:

TABLA Nº 21 COSTO ANUAL TOTAL

| Alternativa | Costo anual por interrup ción. | Costo anual recuperación de capital | Total anual. | |
|-------------|--------------------------------|---|--------------------------------------|--|
| A2 B2 | 693,350 137,225 | 266 , 845 349 , 330 | 960 , 195 486 , 555 | |
| C2 | 54,978 | 445,050 | 500,028 | |

De la Tabla anterior puede elegirse como alternativa más \underline{e} conómica la del esquema de barra principal y transferencia (Alternativa B2).

2.3 SELECCION DEL ESQUEMA DE BARRAS PARA EL SEC-TOR DE 138 KV.

Se consideran las siguientes alternativas:

- Alternativa A1: Barra simple.
- Alternativa B1: Barra principal y transferencia.
- Alternativa C1: Doble barra con un solo disyuntor y "by pass".

2.3.1 <u>Evaluación de la Continuidad y Calidad de Suministro de Po</u>tencia y Energía

En forma similar al caso del sector de 230 Kv., se obtie - nen los resultados:

TABLA Nº 22

ALTERNATIVA A1: BARRA SIMPLE

(Ref: Fig. 33)

| | , | | | | | | | | |
|---------|----------------|-------|------------|-----------------|------------------------------|--------------------|--|--|--|
| | TIPO DE AVERIA | | NUMERO | ANUAL DE | TIEMPO TOTAL DE INTERRUPCION | | | | |
| | | | DENOMINAC. | VALOR (AVERIAS) | DENOMINAC. | VALOR (HORAS INT.) | | | |
| | EN LA BARRA | | Ģ1 | . 0.0054 | H1 | 0.649 | | | |
| | | GRAVE | . G31 | 0.0379 | H31 | 4.6901 | | | |
| | EN POSICION DE | LEVE | . G32 | 0.0946 | H32 | 0.7805 | | | |
| \cdot | MILINIOFOION | TOTAL | . G3 | 0.1325 | Нз | 5.5369 | | | |
| | TOTAL . | | KT | 0.1379 | НТ | 6.1859 | | | |

TABLA Nº 23

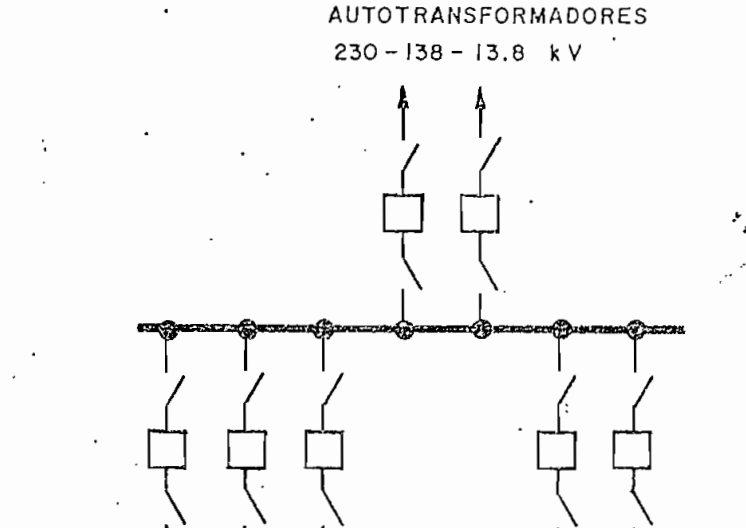
ALTERNATIVA B1 BARRA PRINCIPAL Y TRANSFERENCIA (Ref: Fig. 34)

| | · | ANUAL DE | TIEMPO TOTAL DE INTERRUPCION | | |
|-----------------------------|------------|--------------------|---------------------------------|--------------------|--|
| TIPO DE AVERIA | DENOMINAC. | VALOR (AVERIAS ANO | DENOMINAC. | VALOR (HORAS INT.) | |
| EN LA BARRA PRINC. | . G1 | 0.0054 | H1 | 0 . 6490 | |
| EN BARRA DE | G2 | 0.0002 | H2 | 0.0096 | |
| TRANSFERENCIA | G'2 | 0.00003 | , . H'2 | o.003ė | |
| | . G2T | 0.00023 | H2T | 0.0132 | |
| EN POSICION DE INTERRUPCION | G3 | 0.1325 | H3 | 0.0663 | |
| . "SIMULTANEA EN | G4 : | 0.0045 | H4 | 0.0772 | |
| POSICIONES DE | G'4 . | 0.0003 | H¹4 | 0.0402 | |
| . INTERRUPCION | G4T | 0.0048 | H4T | 0.1174 | |
| . SIMULTANEA EN BARRAS | G5 | O | H5 | 0 | |
| TOTAL | KT. | 0.1429 | нт | 0.8459 | |

TABLA Nº 24

ALTERNATIVA C1 DOBLE BARRA CON UN SOLO DISYUNTOR Y "BY PASS" (Ref: Fig. 35)

| TIPO DE AVERIA | | ANUAL DE ' | TIEMPO TOTAL DE INTERRUPCION | | |
|--------------------------------|------------|--|---------------------------------|--------------------|--|
| , | DENOMINAC. | OMINAC. VALOR $\left(\frac{AVERIAS}{ANO}\right)$ | | VALOR (HORAS INT.) | |
| EN LA BARRA PRINC. | . G1 | 0.02 | H1 . | 0.01 | |
| EN BARRA DE | G2 | 0.0002 | H2 | 0.0096 | |
| TRANSFERENCIA | G'2 | 0.00003 | H'2 | 0.0036 | |
| | . G2T | 0.00023 | H2T | 0.0132 | |
| EN POSICION DE INTERRUPCION | G3 | 0.1325 | H3 | 0.0663 | |
| . SIMULTANEA EN . | G4 . | 0.0045 | H4 | 0.0772 | |
| POSICIONES DE | ·G¹4 | 0.0003 | H'4 | 0.0402 | |
| INTERRUPCION | G4T | 0.0048 | H4T | 0.1174 | |
| SIMULTANEA EN BARRAS | ·G5 | o.00016 | H5 | 0.01947 | |
| TOTAL | KT. | 0.1577 | НТ | 0.2264 | |



. Fig. 33

TRANSFORM.

138 - 69 kV

BABAHOYO

ALTERNATIVA A1: BARRA SIMPLE

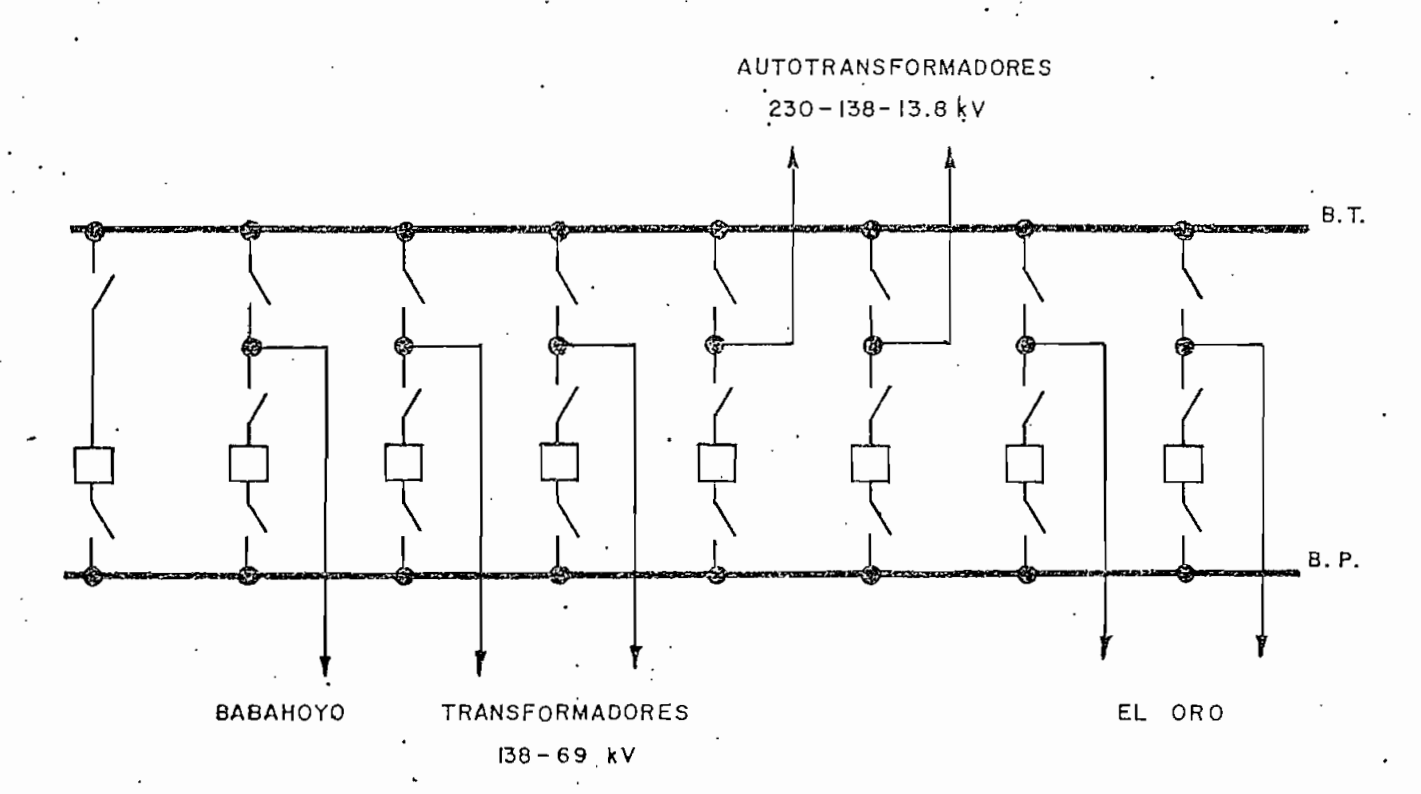


Fig. 34

ALTERNATIVA B1: BARRA PRINCIPAL Y TRANSFERENCIA

EL ORO

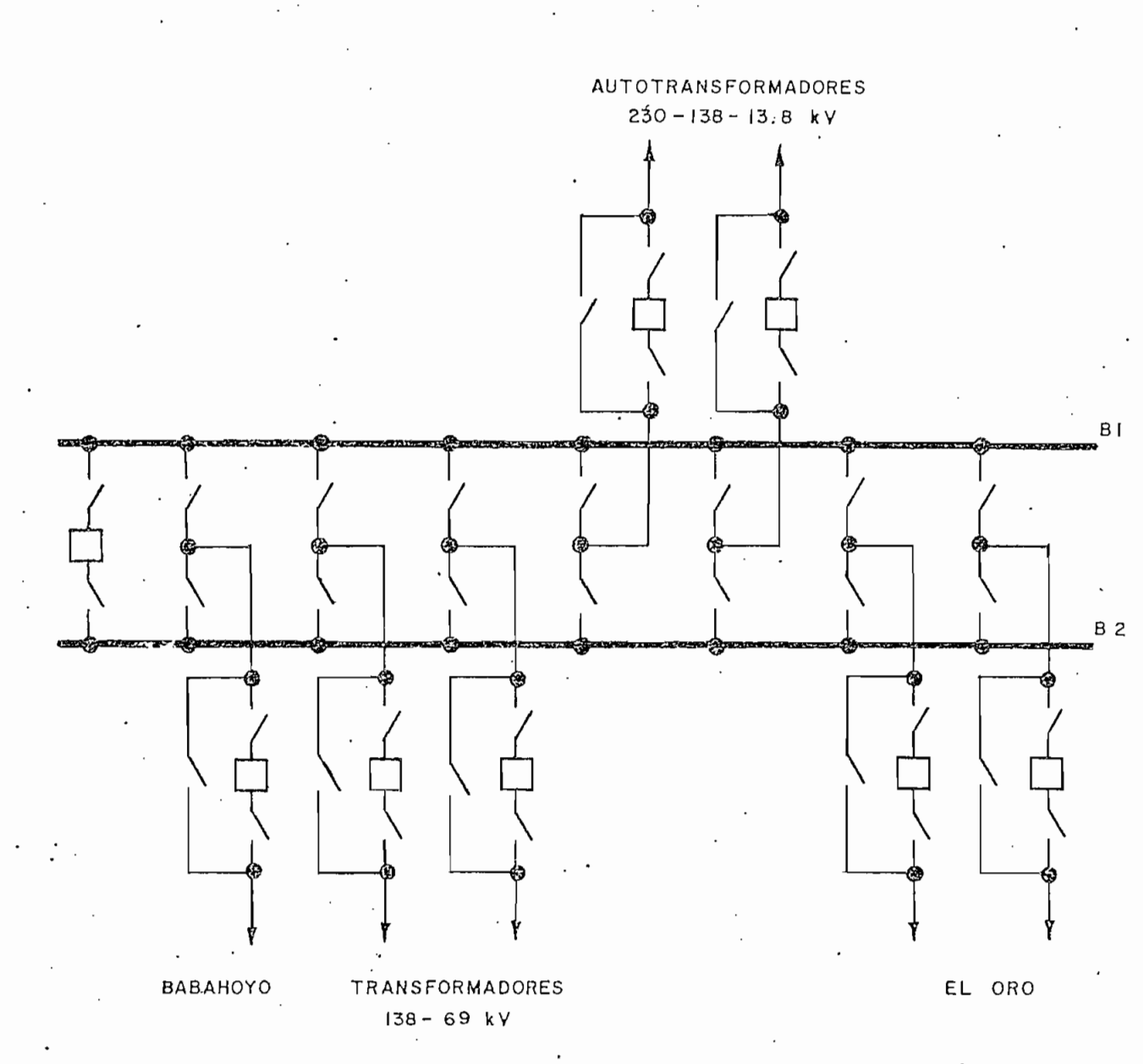


Fig. 35 ALTERNATIVA C1: DOBLE BARRA CON UN SOLO DISYUNTOR Y "BY PASS"

2.3.2 Evaluación del Costo Anual por Interrupciones de Servicio

Los resultados obtenidos son:

TABLA Nº 25

COSTO ANUAL POR INTERRUPCIONES DE SERVICIO

| Alternativa | · Cai (US\$) | | |
|-------------|--------------|--|--|
| . A1 · | . 229,390 | | |
| .B1 | 40,175 | | |
| C1 | 19,233 | | |

2.3.3 Evaluación del Costo Anual de Recuperación de Capital

Los precios de equipo considerados son:

| Equipo | Precio US\$ 1982 | Precio US\$ 1988 | |
|----------------------------|---------------------|---------------------|--|
| Disyuntor | 80,000 | 110,000 | |
| Seccionador | 19,000 | 25,000 | |
| Pararrayos | 5,000 | 7 , 000 | |
| Transformador de potencial | 7,200 | 9,600 | |

Con similares criterios a los adoptados en el caso del sector de 230 Kv., se obtienen los resultados mostrados en las Tablas N° 26 y 27.

7

TABLA Nº 26 ' SUBESTACION MILAGRO EQUIPAMIENTO 1982

| Descripción del equipó | Precion | 'Alternativa A1 | | Alternativa B1 | | Alternativa C1 | |
|---------------------------------------|-----------|-----------------|------------------|----------------|-----------------|----------------|-----------------|
| | Unitario. | Cantidad | Costo | Cantidad | Costo | Cantidad | Costo |
| Disyuntor | 80,000 | 4 | 320,000 | . 5 | 400,000 | 5 | 400,000 |
| Seccionador | 19,000 | 8 | 152 , 000 | 14 | 266,000 | 22 | 418,000 |
| Pararrayos | 5,000 | 12 | 60,000 | 12 | 60,000 | 12 | 60 , 000 |
| Transforma – dor de poten- cial | 7,200 | .9 | 64,800 | . 9 | 64 , 800 | 12 . | 86,400 |
| Barras y mi <u>s</u> celáneos | | | 11,550 | | 38,500 | | 38,500 |
| Instalación | | | 2 , 625 | | 8 , 750 | | 8,750 |
| TOTAL | | | 610,975 | | 538,050 | | 1,011,650 |

TABLA Nº 27 SUBESTACION MILAGRO EQUIPAMIENTO 1988

| Descripción del equipo | Precio Unitario | Alternativa A2 | | Alternativa B2 | | Alternativa C2 | |
|----------------------------------|--------------------|----------------|------------------|----------------|------------------|----------------|-------------------|
| | | Cantidad | Costo | Cantidad | Costo | Cantidad | Costo |
| Disyuntor | 110,000 | 3 | 330 , 000 | 3 | 330,000 | 3 | 330,000 |
| Seccionador | 25,000 | 6 | 150,000 | . 19 | 225,000 | 15 | 375,000 |
| Pararrayos | 7,000 | 9 | 63,000 | . 9 | 63,000 | 9 | 63,000 |
| Transformador de potencial | · 9,600 | . 3 | 28 , 800 | 3 | 28,800 | 3 . | 28 , 800 |
| Barras y mis <u>ce</u> láneos | | | 8 , 9.10 | | 29 , 700 | | 29 , 700 |
| Instalación | | . <u></u> | 2,025 | | 6 , 750 | | 6 , 750 |
| TOTAL: | · | | 582 , 735 | · | 683 , 250 | | .833 , 250 |

El costo total de cada alternativa en el año 1982 se presenta en la Tabla N° 28.

. TABLA Nº 28 COSTO TOTAL DE CADA ALTERNATIVA

| Alternativa | Inversión 1982 | Valor presente 1982 de inversión 1988 | Total |
|-------------|-------------------|--|-----------|
| A1 . | 610 , 975 | 295 , 220 | 906,195 |
| B1 | . 538,050 | 346,140 | 884,190 |
| .C1 | 1'011,650 | 422,130 | 1'433,780 |

Con este costo total para cada alternativa, se obtiene los si guientes valores de costo anual de recuperación de capital:

TABLA Nº 29

Alternativa

Costo anual de resuperación de capital (US\$)

A1

112,495

B1

109,763

C1

177,989

2.3.4 Costo Anual Total

Se presenta en la Tabla № 30

TABLA Nº 30 COSTO ANUAL TOTAL

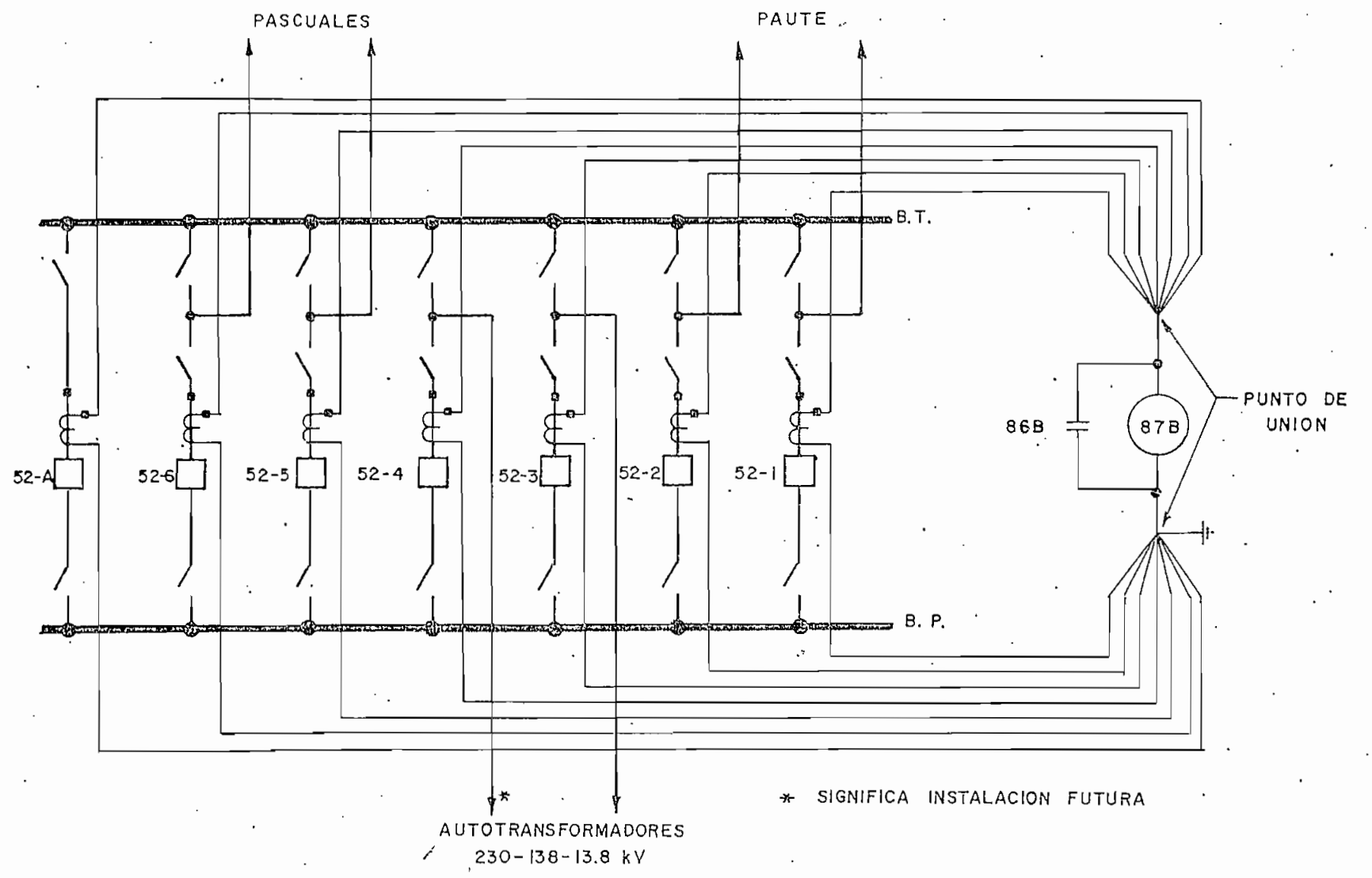
| Alternativa | Costo anual por interrup ción | Costo anual recuperación de capital | Total anual |
|-------------|-------------------------------------|---|-------------|
| A1 . | 229 , 390 . | 112,495 | 341,885 |
| B1 | 40 , 175 | , 109,763 | 149,938 |
| C1 | 19,233 | 177 , 989 | 197,222 |

De la Tabla precedente puede elegirse como alternativa con veniente la del esquema de barra principal y transferencia (Alternativa B1) que es la que menor costo total anual tiene.

3. PROTECCION DE LOS ESQUEMAS DE BARRAS

Puesto que de la selección de esquemas de barras resultó el más adecuado el de barra principal y transferencia para los dos sectores de voltaje, la protección de los mismos, se realizará de igual manera, variando solamente los ajustes necesarios para relés y las características de transformación de corriente.

En las Figuras Nos. 36, 37 y 38 se indican los esquemas de conexiones al sistema de potencia y al sistema de co-rriente contínua.



SISTEMA DE PROTECCION DEL ESQUEMA DE BARRA PRINCIPAL Y TRANSFERENCIA SECTOR 230 KV. - SUBESTACION MILAGRO

Fig. 36

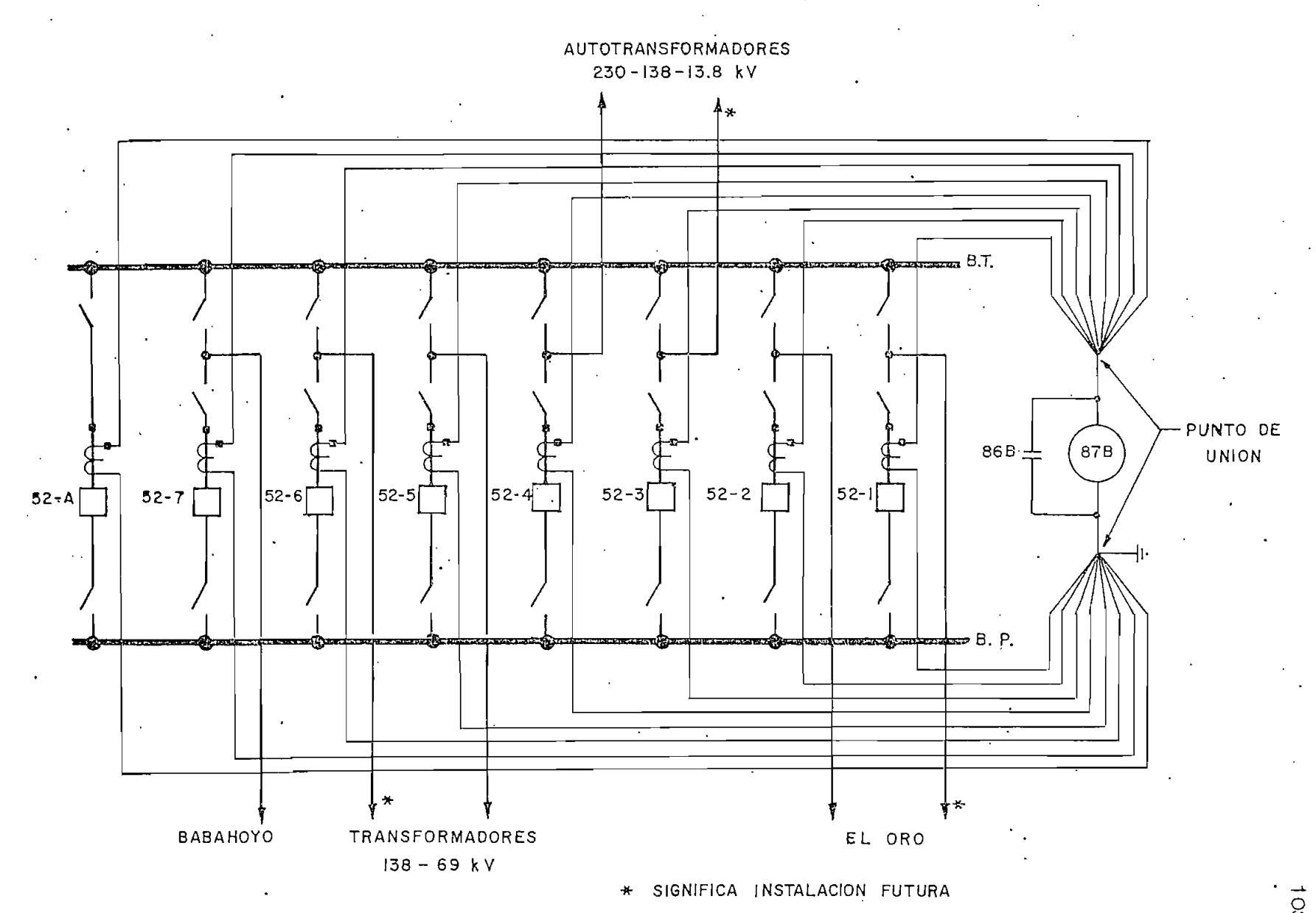


Fig. 37

SISTEMA DE PROTECCION DEL ESQUEMA DE BARRA PRINCIPAL Y TRANSFERENCIA

SECTOR 138 KV. – SUBESTACION MILAGRO

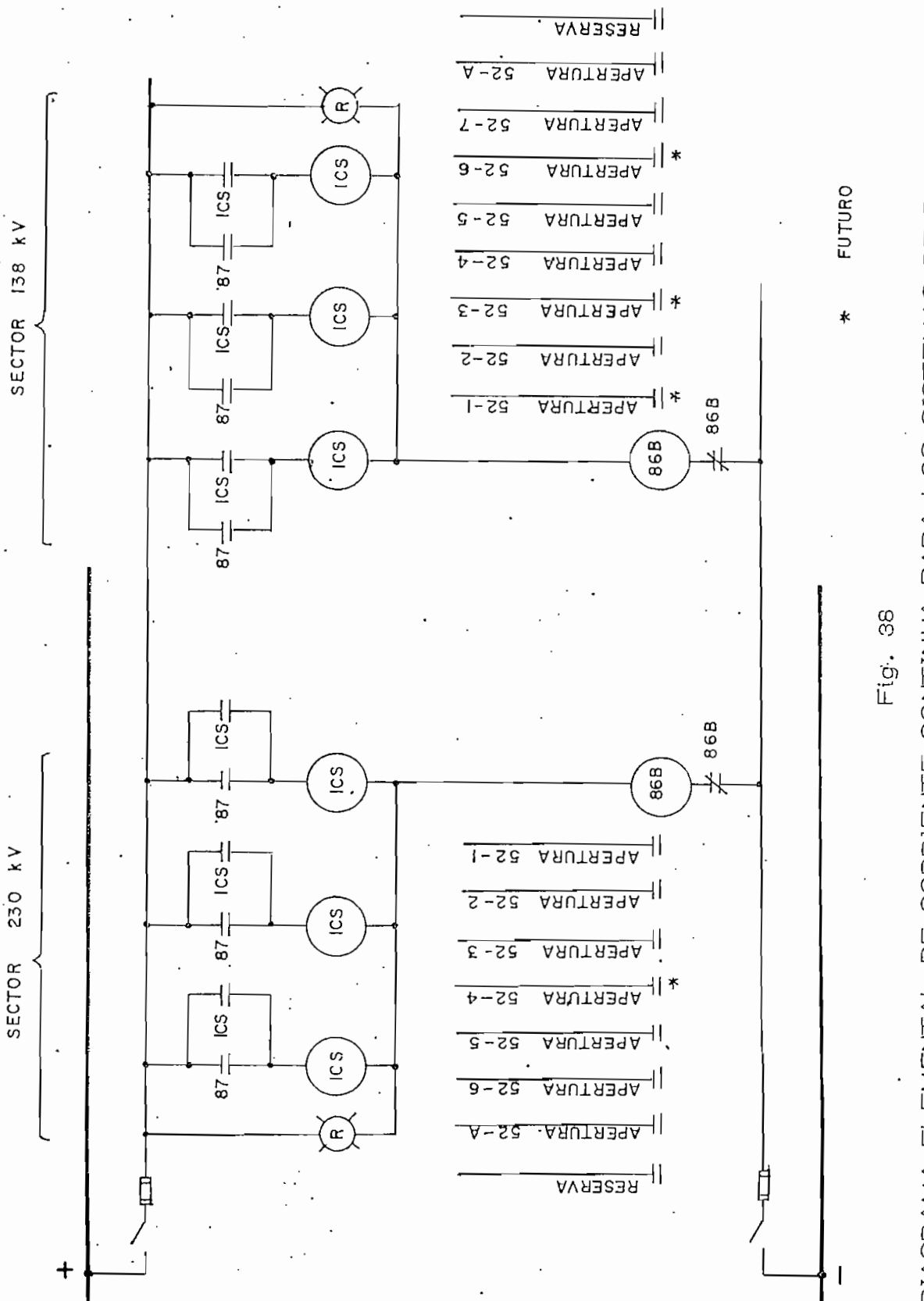


DIAGRAMA ELEMENTAL DE CORRIENTE CONTINUA PARA LOS SISTEMAS DE PROTECCION SECTORES DE 230 Y 138 KV. DE LOS

4. ESPECIFICACION DE TRANSFORMADORES DE CORRIEN-

En base a los valores de probables corrientes para las diferentes posiciones de interrupción indicados en las Tablas Nos. 9 y 10 se ha considerado necesarios transformadores de corriente tipo bushing y de las características siguientes para los sectores de 230 y 138 Kv.

| | Sector 230 Kv. | |
|-----------------------------------|-------------------|---------|
| Clase de aislamiento | 230 Kv. | 138 Kv. |
| BIL | 1050 Kv. | 650 Kv. |
| Voltaje nominal | 230 Kv. | 138 Kv. |
| Frecuencia | 60 Hz. | 60 Hz. |
| Relación de transformación | 1200:5 | 600:5 |
| Clase de precisión | C 400 | C 400 |
| Factor para corriente térmica con | | |
| tínua | 1.33 | 1.33 |

5. ESPECIFICACION DE RELES Y EQUIPOS DE PROTECCION DE BARRAS

5.1 ESPECIFICACION DE RELES

5.1.1 Relés Diferenciales

Para cumplir con los objetivos del presente trabajo se han elegido relés diferenciales de alta impedancia de marca Westinghouse tipo KAB que presentan como característica conveniente la de incluir a más de la unidad de sobrevolta je, una unidad instantánea de sobrecorriente, la que permite tener una orden de operación de disyuntores de las dos unidades. Sin embargo, esta elección no suprime la posibilidad de empleo de relés de similares características, de otras casas de fabricación.

Se deberá tener relés similares para los sectores de 230 . v 138 Kv. cuyas características individuales son (Ref. C3):

| - | Burden | 2,600 1 |
|---|--------------------------------------|--------------|
| - | Monofásico | 60 ó 50 Hz, |
| _ | Unidad de sobrevoltaje | ÷. |
| | Rango . | 75-300 V. |
| | Velocidad ajustable de operación | 1.5 ciclos |
| | Unidad instantánea de sobrecorriente | |
| | Rango | 3-48 Amp. |
| • | Velocidad de operación | 1.0 ciclos |
| - | Bobina de indicación de funcionamien | |
| | to (ICS) | 0.2/2.0 Amp. |
| | | |

Se empleará 6 relés para los dos sectores de voltaje.

Se debe efectuar un cálculo separado para calibración de las unidades respectivas de cada relé. En el Anexo B, se indica el método de calibración recomendado por los fabricantes

de relés y las características de excitación de los transformadores de corriente.

5.1.2 Relés de Bloqueo

Con las mismas consideraciones que para relés diferenciales se escoge el empleo de relés de bloqueo de Mitsubishi Electric Corporation (Ref: C8), para el disparo múltiple de los disyuntores.

El tipo MKR presenta las siguientes características:

| - | Voltaje (C.D.) | 125 V . |
|---|--------------------------------------|----------------|
| - | Tiempo total energizado | 29.2 ms. |
| - | Tiempo para el cierre de contactos | 16.3 ms. |
| - | Tiempo para la apertura de contactos | 12.6 ms. |
| _ | Número de terminales | 12 |

Se necesita un relé de bloqueo para el sector de 230 Kv. y uno para el de 138 Kv.

5.2 CALCULO DE AJUSTES PARA LOS RELES DIFERENCIA-LES

Esta evaluación ha sido realizada considerando los valores de corrientes de cortocircuito para el año 1983.

Se asume que la conexión del relé al punto de unión se rea

liza con cable Nº 10 AWG, cuyas características son:

- Conductor

No. 10 AWG

Material

cobre

- Resistencia 1,000 pies

1.06

Se asume que la distancia del transformador de corriente más alejado hasta el punto de juntura es de 100 m. por lo que la resistencia de un conductor será:

$$R_L = 0.35 \Omega$$

5.2.1 Ajustes para los Relés Diferenciales para el Sector de 230 Kv.

a. Unidad de Voltaje

- Para máxima falla trifásica externa

$$R_s = 1.62 \Omega$$

$$R_L = 0.35 \Omega$$

$$I_f = 5787 A.$$

$$\vee_k = 375 \vee$$

$$N = 240$$

$$\frac{(R_S + R_L)\frac{I_f}{N}}{\sqrt{k}} = \frac{1.62 \pm 0.35, \frac{5787}{240}}{375} = 0.1265$$

De la Figura BI (Anexo B):

$$k = 1.3$$

El voltaje de ajuste requerido será:

$$V_r = k(R_S + R_L) \frac{I_f}{N} = 1.3(1.62 + 0.35) \frac{5787}{240} =$$

$$= 61.68 \text{ V}.$$

Para máxima falla monofásica a tierra, externa

$$I_f = 2854 A.$$

$$\frac{(R_s + R_L)\frac{I_f}{N}}{V_k,} = \frac{(1.62 + 2 \times 0.35)\frac{2854}{240}}{375} = 0.073$$

De la Figura BI (Anexo B):

$$k = 1.5$$

El voltaje de ajuste requerido será:

$$V_r = k(R_s + R_L) \frac{I_f}{N} = 1.5(1.62 + 2 \times 0.35) \frac{2854}{240} =$$

$$= 41.3 \text{ V.}$$

El voltaje elegido como ajuste de los relés podría ser 61.68 v. Como los relés tienen un rango de <u>a</u> juste de 75 a 300 voltios, se elige el valor de 75 v.

$$\vee_k = 75 \vee$$

b. <u>Unidad de Corriente</u>

- Para máxima falla trifásica externa

$$(R_s + R_L) \frac{I_f}{N} = (1.62 + 0.35) \frac{5787}{240} = 47.4$$

- Para falla monofásica a tierra

$$(R_s + R_L)\frac{I_f}{N} = 27.54$$

Comentario

Los dos valores de la expresión $(R_S + R_L) \frac{I_f}{N}$ encontrados da rán una corriente máxima menor que el mínimo valor de ajuste de los relés (ver Fig.B2 del Anexo B), por lo que no se puede utilizar esta unidad para este año.

Esta unidad podrá emplearse cuando la magnitud de corriente de cortocircuito sea más elevada que la que puede presentarse en el año considerado.

En estas condiciones, la corriente mínima de falla interna para operar el relé será, según la ecuación F-B4 (Anexo B) y asumiendo una corriente en el varistor:

$$I_{V} = 0.02 A.$$

$$Imin = (5 \times 0.030 + 0.028 + 0.160) 240$$

$$Imin = 81.12 A.$$

5.2.2 Ajustes para los Relés Diferenciales para el Sector de 138 Kv.

Se han considerado las mismas apreciaciones que para el sector de 230 Kv.

a. Unidad de Voltaje

- Para máxima falla trifásica externa

$$I_{f} = 4740 A.$$

$$N_{\cdot} = 120_{\cdot}$$

$$\frac{(R_S + R_L) \frac{1f}{N}}{\sqrt{k}} = 0.163$$

El valor de k:

$$k = 1.25$$

$$V_r = k(R_S + R_L) \frac{I_f}{N} = 76.42 \text{ V}$$

- Para máxima falla monofásica a tierra, externa

$$I_{f} = 4548 A.$$

$$\frac{(R_s + R_L)\frac{I_f}{N}}{V_k} = 0.19$$

El valor de k:

$$k = 1.20$$

$$V_r = k(R_S + R_L) \frac{I_{f.}}{N} = 86.9 \text{ V}$$

El voltaje elegido como ajuste será:

b. Unidad de Corriente

- Para máxima falla trifásica externa

$$(R_S + R_L) \frac{I_f}{N} = 61.14$$

- Para máxima falla monofásica a tierra, externa:

$$(R_S + R_L) \frac{I_f}{N} = 72.41$$

Comentario

Al igual que en el sector de 230 Kv., no se debe emplear las unidades de sobrecorriente por la razón expuesta anteriormente.

La corriente mínima de falla interna que causará operación del relé será:

$$Imin = (4 \times 0.050 + 0.033 + 0.16) 120$$

Imin = 47.16 A.

5.3 ESPECIFICACION DE DISYUNTORES

Con los valores de corrientes normales (Tablas Nos. 9 y 10) los máximos valores de corrientes de cortocircuito (Tabla N^2 12) y los requerimientos preferidos para disyuntores para \underline{u} so exterior según las normas ANSI (Ref. N2), se consideran necesarios disyuntores de las siguientes características:

5.3.1 Disyuntores para el Sector de 230 Kv.

Número de polos

Frecuencia

Voltaje nominal

Máximo voltaje de operación

Maximo Voltaje de operación

Corriente nominal

tres

60 Hz.

230 Kv.rms.

242 Kv. rms.

1600 A,rms.

Tiempo para interrupción de corrientes

de cortocircuito dos ciclos

Máxima corriente simétrica de cortocir

cuito para máximo voltaje de operación. 31.5 kA,rms

Capacidad de conducción de corriente de

cortocircuito por 3 seg. 31.5 kA,rms

Nivel de aislamiento 900 Kv,rms.

5.3.2 Disyuntores para el Sector de 138 Kv.

Número de polos tres Frecuencia 60 Hz. Voltaie nominal 138 Kv.rms. Máximo voltaje de operación 145 Kv.rms... Corriente nominal 1200 A,rms. Tiempo para interrupción de corrientes de cortocircuito tres ciclos Máxima corriente simétrica de cortocir 20 kA, rms. . cuito para máximo voltaje de operación. Capacidad de conducción de corriente de 20 kA,rms. cortocircuito por 3 seg. Nivel de aislamiento 650 Kv,rms.

6. SECUENCIA DE ACCIONAMIENTO DEL SISTEMA DE PRO-TECCION

Los esquemas de protección para los dos sectores de volta je operarán de la siguiente manera:

a. Estado Normal del Esquema de Barras

Al ocurrir una avería, ésta es detectada por el relé diferencial que se demorará un ciclo en cerrar sus contactos. Al ser impartida la orden de apertura de disyuntores, opera el relé de bloqueo, el tiempo que se demora en cerrar sus contactos es aproximadamente un ciclo; y, con el tiempo que un disyuntor tarda en despe jar una corriente de falla 2 a 3 ciclos, se tiene un tiempo total de 4 ó 5 ciclos (66.6 a 83.3 mseg.), tiempo que es menor que 100 ms. que había sido especificado como límite de tiempo máximo para el flujo de una corriente de falla sin deterioro de equipos.

b. Mantenimiento de una Posición de Interrupción

El esquema de protección opera como para el caso a.

CAPITULO, IV

CONCLUSIONES

- El empleo del método de selección de esquema de barras. mencionado en este trabajo es recomendable para subesta ciones de sistemas interconectados.
- La magnitud de la corriente de cortocircuito determina el empleo o la no utilización de la unidad de corriente de un relé diferencial de alta impedancia tipo KAB de Westinghouse.
- La utilización del relé diferencial de alta impedancia para protección de barras, es recomendable por requerir equipo auxiliar convencional. De igual manera, una adopción de este sistema puede ser realizada fácilmente en subestaciones con otro sistema de protección y con el equipo auxiliar indicado.
 - Es recomendable el empleo de la unidad direccional de un relé de distancia (21) para el sistema de detección de la barra fallada en los esquemas que necesiten este requerimiento, por ser una unidad mucho más rápida que la de un relé direccional de sobrecorriente (67), que si bien pue de emplearse, se corre el riesgo de no obtener la velocidad requerida para protección de barras de subestaciones importantes.

La confiabilidad de un esquema de barras mejora con la $d\underline{u}$ plicación de equipos (empleo de varias barras; un disyuntor que puede reemplazar a otro, etc.).

ANEXO A

SIMBOLOS Y NOMENCLATURA DE DISPOSITIVOS EMPLEADOS

| SIMBOLOS | |
|-------------|----------------------------|
| | Disyuntor . |
| | Seccionador |
| <u> </u> | Contacto de un dispositivo |
| | Bobina de operación |
| \square | Lámpara indicadora |
| | Fusible |
| | Transformador de corriente |
| | Conexión de tres elementos |

NOMENCLATURA

| 101 | 1 121/0 | do | control | manual |
|---------|---------|--------|-----------|--------|
| 1 () 1 | | \Box | COMETICAL | manual |

52 Disyuntor

87 · Relé diferencial

| 86 | Relé de bloqueo |
|--------|--|
| ICS | Bobina para dispositivo indicador de operación de relé |
| R | Lámpara indicadora color rojo |
| \vee | Lámpara indicadora color verde |
| 89 | Seccionador |
| 21 | Relé de distancia |
| 43 | Dispositivo selector manual de varias posiciones |
| 67N | Relé direccional de sobrecorriente a tierra |

SUFIJOS EMPLEADOS

| × Y Z | Relés auxiliares |
|-------------|-----------------------|
| \top | Trip · (disparo) |
| С | Clase (cierre) |
| В. | Barra |
| L. | Línea |
| a | Contacto de disyuntor |
| b | Contacto de disyuntor |

ANEXO · B

CALCULO DE AJUSTE PARA EL RELE DIFERENCIAL DE ALTA IMPEDANCIA WESTINGHOUSE TIPO KAB

AJUSTE DE LA UNIDAD DE VOLTAJE

Puede ser expresado de la siguiente manera:

$$\vee_{r} = k (R_{s} + R_{L}) \frac{I_{f}}{N}$$
 (F-B1)

En donde:

V, = Valor mínimo de inicio de operación (volts-rms)

 R_s = Resistencia del bobinado secundario del TC, incluyendo do cableado interior hasta los terminales del bushing.

R_L = Resistencia del cable desde los puntos de unión al TC más distante (cable de ida para falla de fase, ida y retorno para falla fase a tierra).

I (= Máxima corriente de falla externa (Amp.-rms)

N = Relación de vueltas del TC.

k = Factor de margen que varía en forma inversa con el factor de saturación del TC y que se lo obtiene de la abscisa de la curva de la Figura B1, resolviendo antes la expresión:

$$\frac{(Rs + RL) I_f}{NV_k}$$
 (F-B2)

Siendo V_k el voltaje máximo obtenido del TC menos apto. Los valores de la expresión se encuentran en el eje de las ordenadas para la curva indicada.

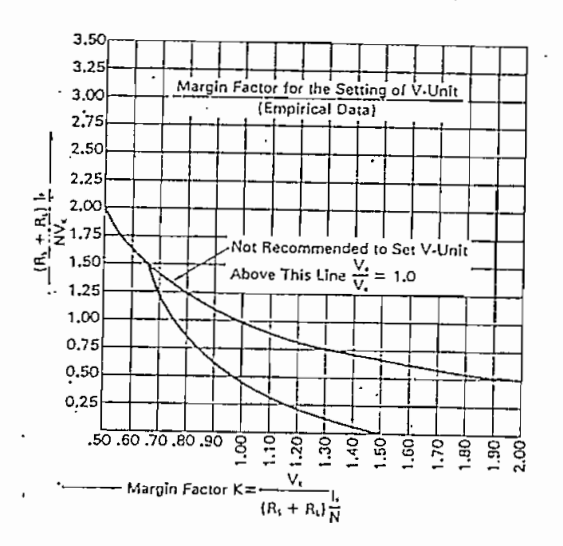


Fig. B1

FACTOR DE MARGEN PARA EL AJUSTE DE LA UNIDAD

DE VOLTAJE

Cabe indicar que se deberá elegir como valor de ajuste de la unidad de voltaje del relé, el mayor encontrado al considerar los tipos de fallas que pueden ocurrir en el sistema.

2. AJUSTE DE LA UNIDAD DE CORRIENTE

Se emplea la siguiente expresión:

$$(R_S + R_L) \frac{If}{N}$$
 . (F-B3)

Sus valores se encuentran en el eje de las ordenadas de la curva de la Figura B2, cuyo valor respectivo en el eje de las abscisas da directamente el valor del ajuste de la unidad mencionada.

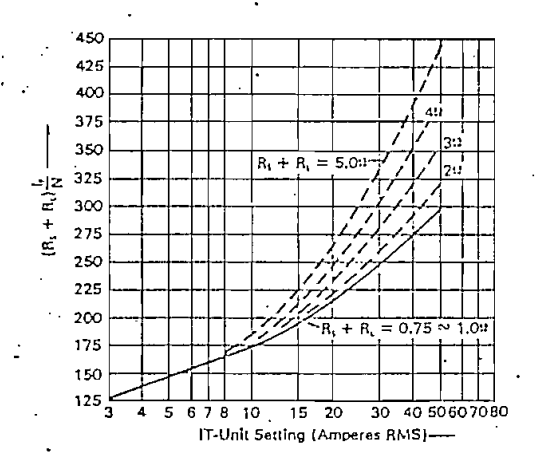


Fig. B2 . AJUSTE PARA LA UNIDAD DE CORRIENTE

Conociendo las características de los transformadores de corriente se puede alcular la mínima corriente de falla requerida para operar el relé al valor determinado de ajuste, mediante:

$$Imfn = (XI_e + I_r + I_V) \dot{N}$$
 (F-B4)

En donde:

I_e = Corriente de excitación secundaria a un voltaje igual al del ajuste de la unidad de voltaje.

I, = Corriente en la unidad de voltaje al valor de ajuste \vee .

$$I_r = \frac{\sqrt{r'}}{2600} \tag{F-B5}$$

 $I_{\,\mathbf{v}}$ = Corriente en el varistor del circuito a un voltaje igual al de ajuste de la respectiva unidad.

N = Relación de vueltas del transformi,dor.

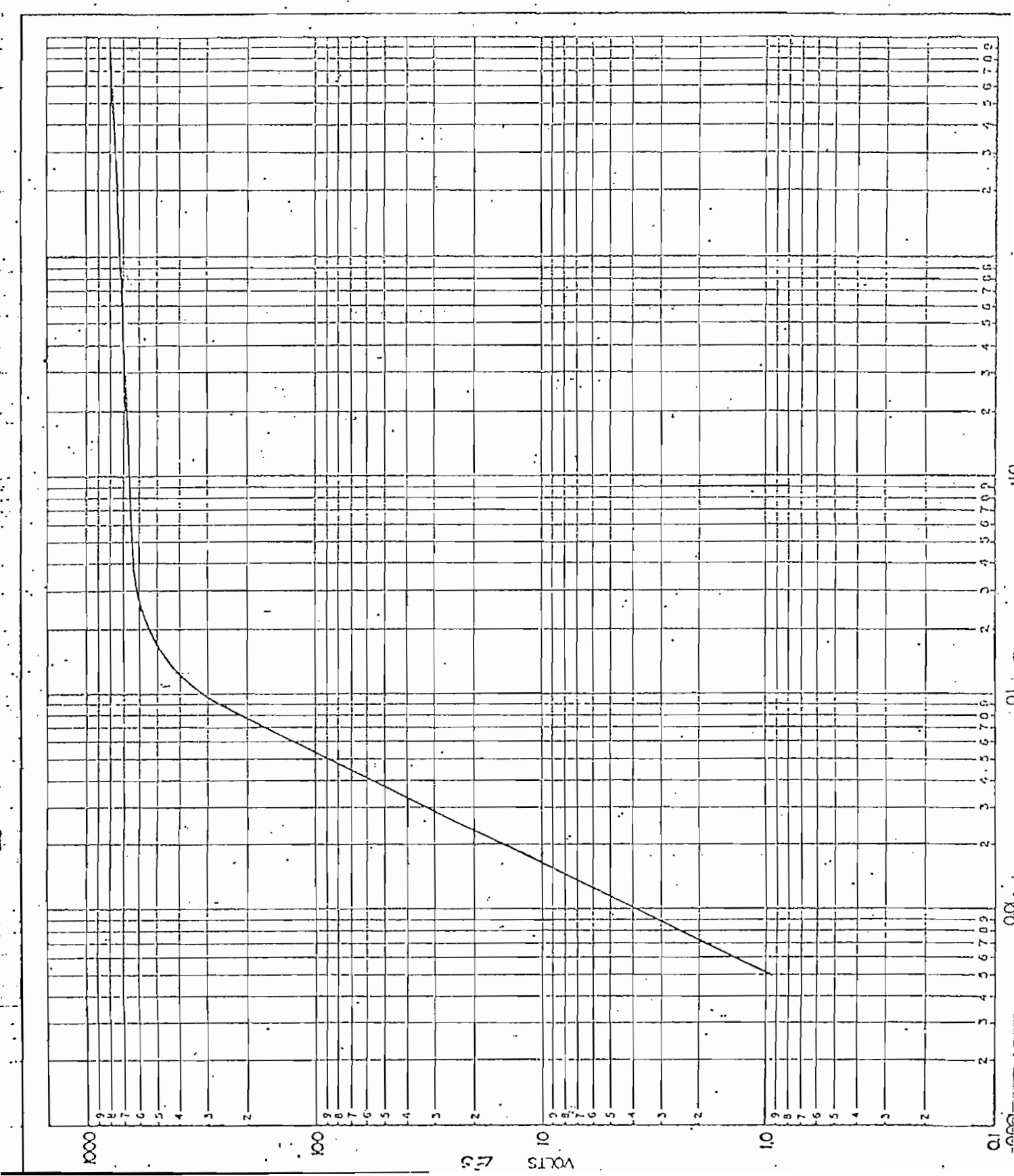
X = Número de circuitos conectados a la barra.

GENERAL DELECTRIC For use with C.E Template 1:P.10 -- SECONDARY EXCITATION CHARACTERISTICS 1200:5 A-7C-400 $\tilde{\delta}$ Q 57 STUDY

600:5

-- SECONDARY EXCITATION CHARACTERISTICS

C-400



BIBLIOGRAFIA

LIBROS

- L.1 WESTINGHOUSE ELECTRIC CORPORATION

 "Applied Protective Relaying"

 Relay Instrument Division.

 Newark, New Jersey, U.S.A.
- L.2 C. RUSSELL MASON

 The Art and Science of Protective Relaying

 Johm Wiley & Sons

 Inc. New York, 1956
- L.3 CANFIELD AND BOWMAN

 Bussiness Legal and Ethical Phases of Engineering

 McGraw Hill.
- L.4 GENERAL ELECTRIC COMPANY

 Protective Relays and Instrument Transformers

 May, 1954
- L.5 COLEGIO DE TECNICOS DE CHILE
 Protecciones de Sistemas Eléctricos
 Santiago de Chile, Octubre, 1960

ARTICULOS

A.1 ENRIQUEZ VACA PATRICIO

Estudios de Confiabilidad para las Subestaciones del Sistema Nacional de Transmisión.

CIER - Subcomité de Ingeniería de Sistemas Eléctricos. Quito, 1976

- A.2 WILLIAMS, W.P.

 Design of H.V. Substations, Part I.

 Electrical Connections of Switching Stations.

 'The English Electric Company Limited'

 Stafford, 1962.
- A.3 DAVENPORT, F.W.; MAGIDSON, E.M.; YAKUB, YU.A.
 Substation Bus Switching Arrangements.
 Their Essential Requirements and Reliability
 Electra.
- A.4 GROVER, M.S.; BILLINTON, R.

 A Computerized Approach to Substation and Switching Station Reliability Evaluation

 Power Sistems Research Group.

 University of Saskatchewan, Canada.
- A.5 HEISING, C.R.; RINGLE, R.J.; SIMMONS, H.O.

 A Look at Substation Reliability.
- A.6 ORTUONDO, P.

 Confiabilidad de Subestaciones Seccionadoras.

 Empresa Nacional de Electricidad S.A.

 ENDESA, Santiago de Chile, 1974.

- A.7 AIEE COMMITTE REPORT

 Substation One Line Diagrams Transaction

 Agosto, 1953
- A.8 REID, I.A.

 Busbar Protection

 GEC Measurements.

 Electrical Review,

 Junio 1957.
- A.9 SANDOR MENTLER

 A Half Cycle Static Bus Protection Relay Using Instantaneous Voltage Measurement

 IEEE Transactions on Power Apparatus and Systems,

 Vol. PAS-94, Nº 3

 May/June 1975.

CATALOGOS

- C.1 ASEA

 High Impedance Generator Differential Protection Type
 RYDHA.

 Description of Relay Protection

 June, 1966.
- C.2 WESTINGHOUSE

 Type KAB High Impedance Bus Differential Relay Device

 Descriptive Bulletin, 41–340

- C.3 WESTINGHOUSE

 Type KAB, Single Phase Instantaneous, High Speed.

 Bus Differential Relays.
- C.4 REYROLLE PROTECTION LIMITED

 Type B3 High Impedance Differential Relay

 Enero. 1977
- C.5 ASEA

 Busbar Differential Protection Type RYDSS

 Pamphlet RK 60-204 E. Edition 1.

 Abril, 1970.
- C.6 MITSUBISHI ELECTRIC

 Differential Voltage, W/BPX-10A2 and 20A2 Auxiliary Boxes

 Type LABS-1 and Type MKR Lock-out Relay

 Bus Protection Relay Systems.
- C:7 BBC BROWN BOVERI & COMPANY LTD.

 Static Protection Equipment for Busbars

 Relays and Protection Schemes CH-ES 36-11E

 Electronic Busbar Protection (based on Directional Comparison)

 Relay and Protection Schemes CH-Es 36-10E.
- C.8 MITSUBISHI ELECTRIC CORPORATION

 Oferta Equipamiento ST/3

 Sistema Nacional Interconectado del Ecuador.

ESTUDIOS

- E.1 Sistema Nacional Interconectado Memoria Descriptiva 1976.
- E.2 Sistema Nacional Interconectado Estudio de Flujo de Carga . 1983 a 1990.
- E.3 Sistema Nacional Interconectado
 Estudio de Cortocircuitos
 1983 a 1990.

NORMAS

- N.1 ANSI, C57.13

 Requierements for Instrument Transformers.
- N.2 ANSI, C37.06

 Schedules of Preferred Ratings and Related Required Capabilities for A-C High Voltage Circuit Breakers Rated on Symmetrical Current.
- N.3 ANSI, C37.010

 Aplication Guide for A-C High Voltage Circuit Breakers

 Rated on Symmetrical Current Basis.